Нейтронные звезды: от рождения до слияния

Александр Лутовинов (ИКИ РАН)

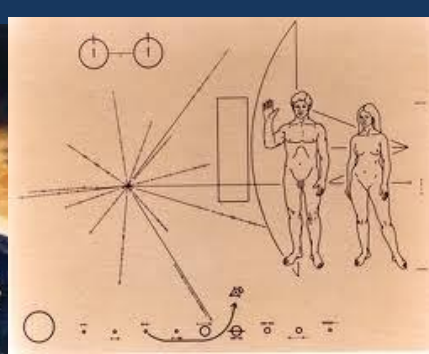
1967 год











В Кэмбридже (Англия) закончено строительство нового радиотелескопа (площадь 4 акра)
Цель — изучение мерцаний космических радиоисточников Руководитель — А. Hewish Среди сотрудников аспирантка Joselyn Bell (Дж. Белл)



28 ноября 1967 года

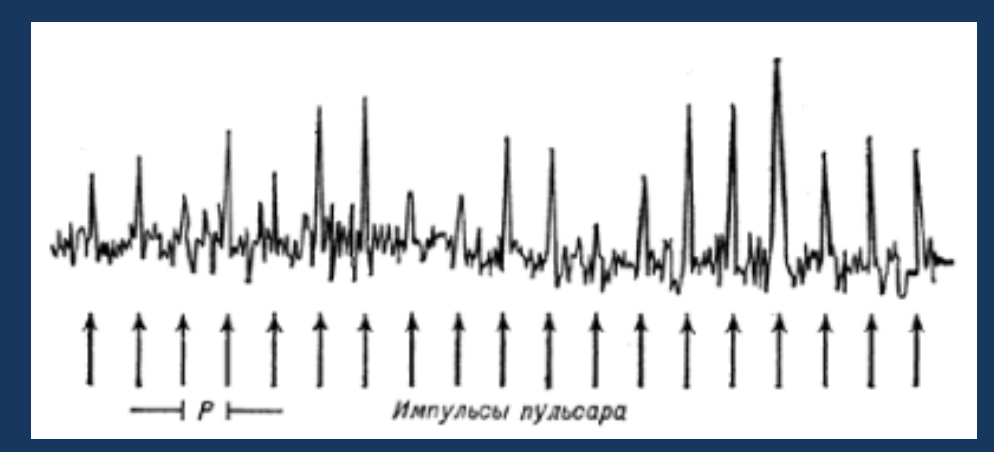
Дж. Белл обнаруживает первые серии периодических импульсов период ~1,34 сек

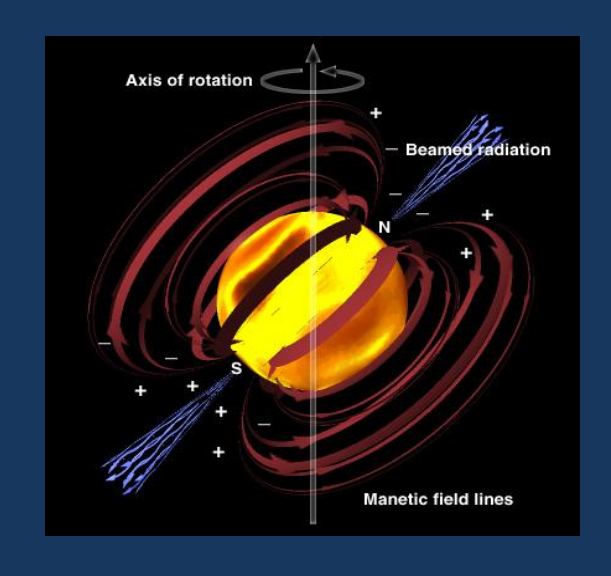
Первые попытки объяснений: помехи земного происхождения, сигналы самолетов и спутников

Сигналы внеземных цивилизаций, попытки распознать код

Источники излучения – небесные тела, предположительно

нейтронные звезды





Нобелевская премия 1974 г. A.Hewish

Нейтронные звезды. Пульсары

 $M \approx 1.4 \ M_{Sun} \ R \approx 10 \ км$ $E_g \approx GM^2/R \sim 5x10^{53} \ эрг$ $\rho \approx 7x10^{14} \ г/см^3$ Давление вырожденных нейтронов

Идея – Л. Ландау (1932)

НЗ рождаются во время вспышек Сверхновых W.Baade, F.Zwicky (1934)

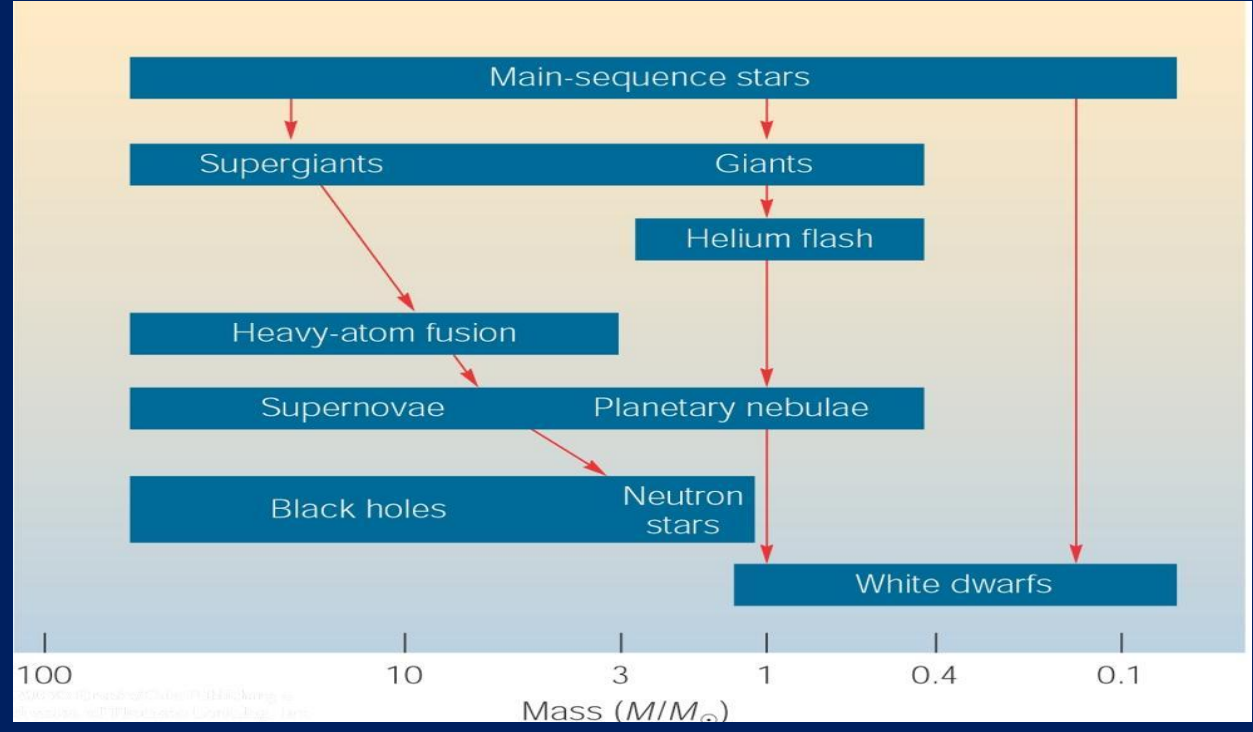
 $E_{SN} \sim 10^{53} \, \text{эрг} \sim E_{g} \, (NS)$

Только нейтронные звезды могут вращаться с такой скоростью! v~0.1с на поверхности! Сила тяжести ~100 миллиардов g! (иначе –разрушение)

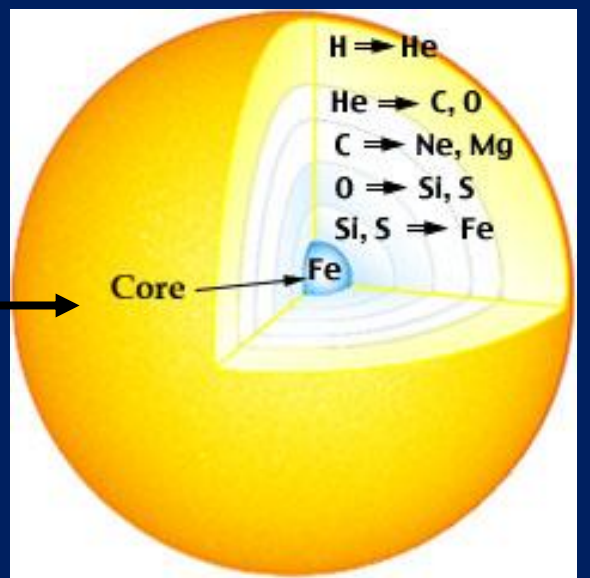


Пульсирующее излучение - "маяк"

Образование компактных объектов



Сверхновая II типа последняя стадия массивной звезды



Взрыв сверхновой с M > 8 M_{sun} приводит к сбросу внешних слоев

Центральное ядро будет сжиматься в компактный объект ~ неск М_{sun}

Причина — гравитационное сжатие железного ядра Распад ядер железа

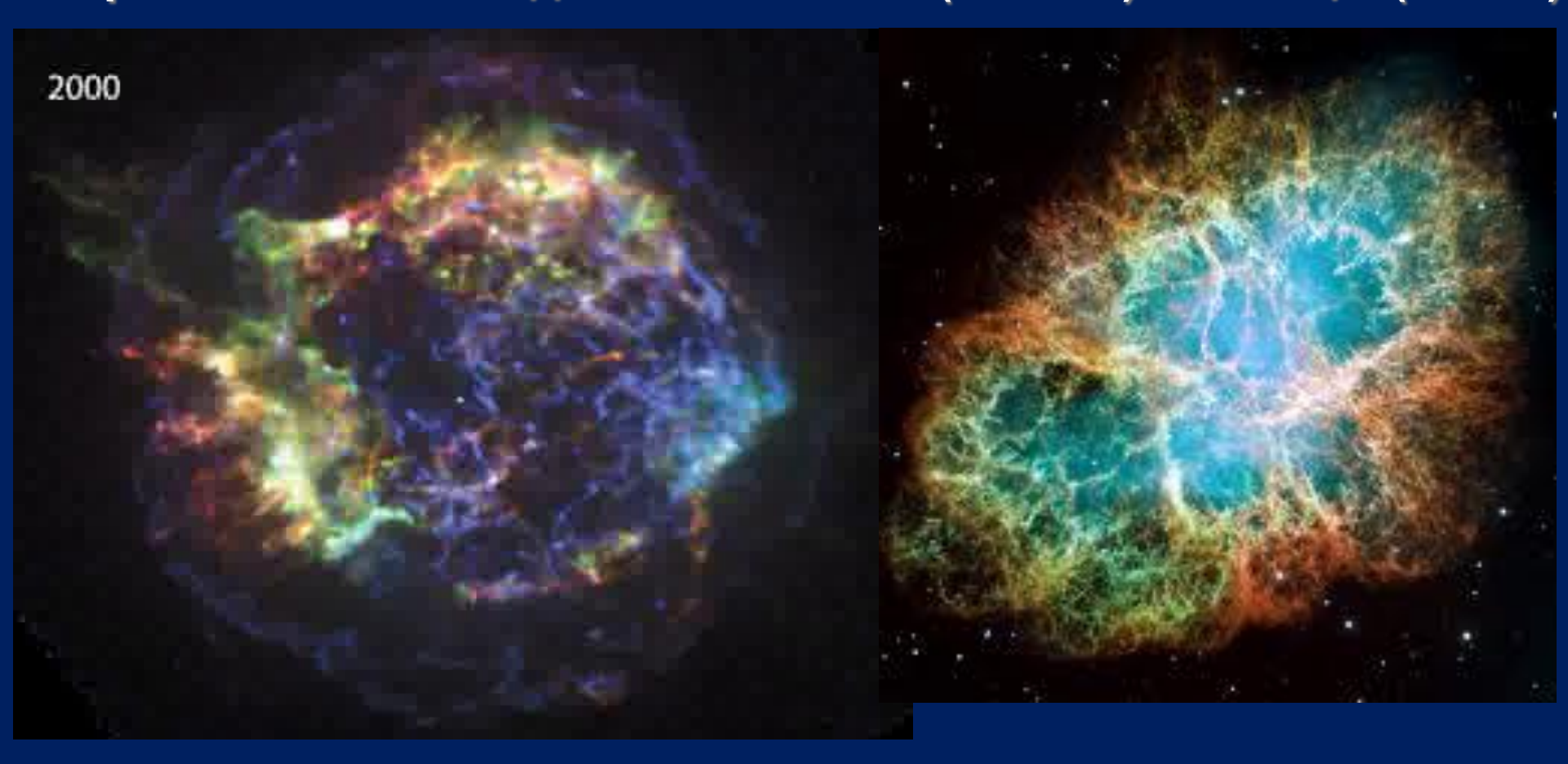
$$\gamma + ^{56}Fe = 13\alpha + 4n$$

Нейтронизация

$$p + e^- \rightarrow n + v_e$$

Где можно ожидать увидеть НЗ

Остатки вспышек сверхновых, взрывы размером 15 световых лет Сверхновые в созвездиях Кассиопеи (1680 г?) и Тельца (1054 г)



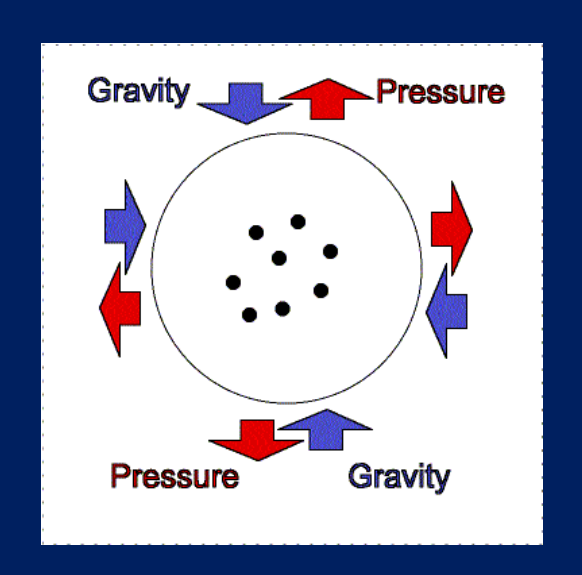
Взрывы на расстояниях 11000 и 6000 световых лет от нас!

Компактные объекты

конечный продукт звездной эволюции

начальная	компактный	размер	внутренее
масса звезды	обьект	масса	строение
M∗<8 M _⊙	белый карлик	R~10 ⁻² R $_{\odot}$ M<1.2 M $_{\odot}$	вырожденный электронный газ
8 M _⊙ <m<sub>∗<30 M_⊙</m<sub>	нейтронная	R~15-20 км	вырожденный
	звезда	М=1.4 М _⊙	нейтронный газ
M _* >30 M _⊙	черная дыра	R=R _g (3км/М _⊙) M>3 М _⊙	горизонт событий R _g

Как звезды противостоят гравитации?



Обычные – давление горячего газа

БК – давление вырожденного электронного газа (M<1.4 М Солнца)

H3 – давление вырожденного газа нейтронов (M~<3M Солнца)

А дальше?

Черные дыры?

Звезды из вырожденного вещества

- 1. Коричневые карлики (T~700-2000K)
- 2. Белые карлики (Т~10000-100000К)
- 3. Нейтронные звезды (Т~0.1-0.3 кэВ)

Немного из истории

У.Адамс (1914): Двойная система Сириус (А,В)

- спектры обоих компаньонов похожи (Т~8000 К)
- масса Сириус В 0.75-0.95 М_{sun}
- светимость $\sim 1/360 \text{ M}_{sun}$
- радиус R~19000 км (???)

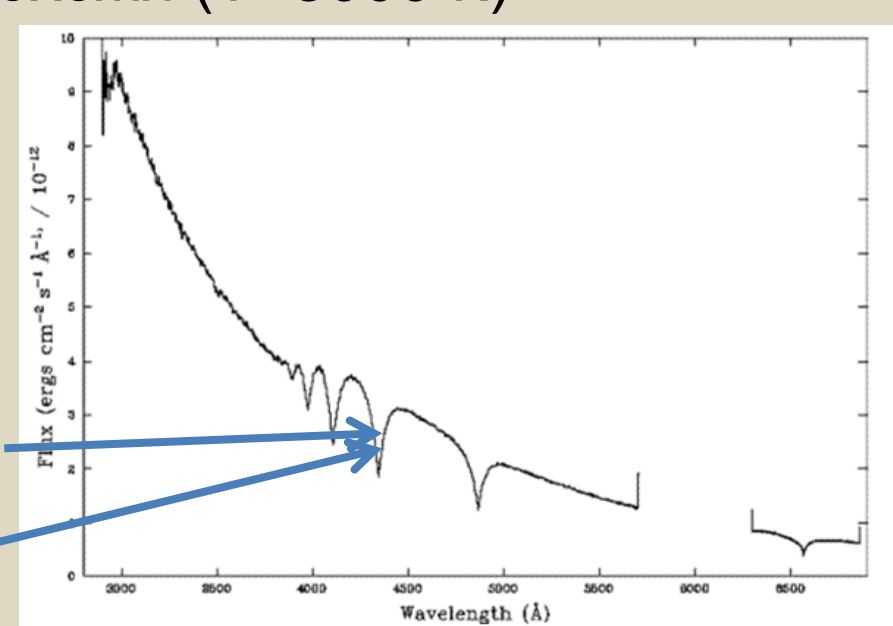
Необычные линии в спектре:

- форма линий -> сила тяжести на поверхности (log g ~8.556)
- положение линий ->

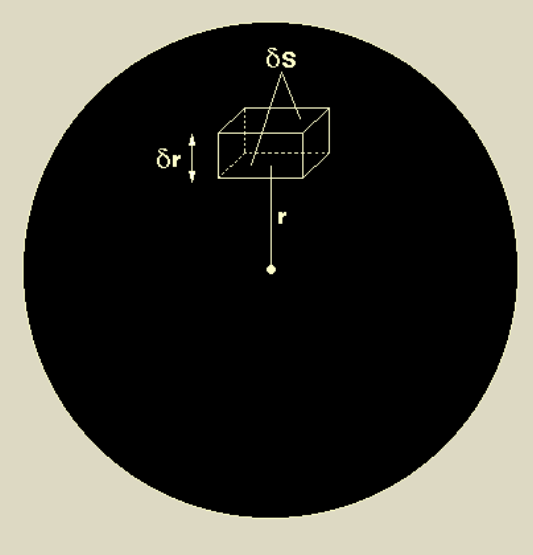
гравитационное красное смещение (~20-80 км/сек)

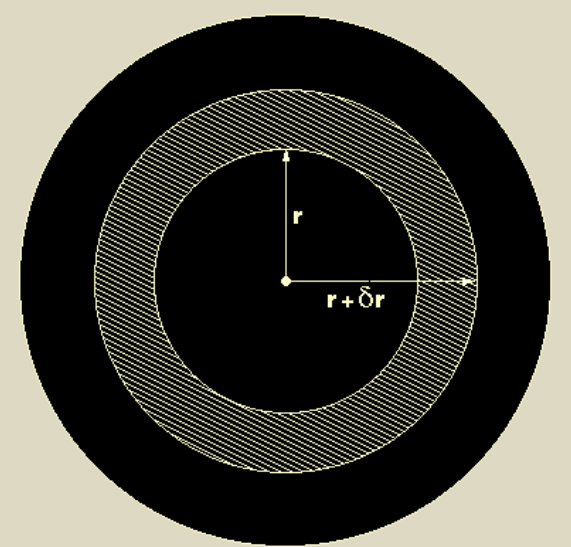
=> высокое отношение M/R, высокая плотность, имеем дело с чем-то необычным

август 1926 – статистика Ферми-Дирака декабрь 1926 – объяснение белых карликов (Фаулер) 1930-е годы – развитие моделей БК (Чандрасекар)



Уравнения гидростатического равновесия





Масса внутри сферы радиуса *r*

$$\frac{dm(r)}{dr} = 4\pi r^2 \rho$$

Если звезда в равновесии, то силы гравитации уравновешиваются силами давления

$$-\frac{dP}{dr}dr\,dA = \frac{Gm(r)}{r^2}dm$$

$$\frac{dP}{dr} = -\frac{Gm(r)\rho}{r^2}$$

Теорема вириала для звезд

Гравитационная потенциальная энергия звезды

$$W = -\int_0^R \frac{Gm(r)}{r} \rho 4\pi r^2 dr$$
$$= \int_0^R \frac{dP}{dr} 4\pi r^3 dr$$
$$= -3 \int_0^R P 4\pi r^2 dr,$$

Для газа, описывающегося адиабатическим уравнением состояния

$$P = K \rho_0^{\Gamma}$$

плотность энергии газа

$$\varepsilon' = \frac{P}{\Gamma - 1}$$

тогда

$$W = -3(\Gamma - 1)U$$
 где $U = \int_0^R \varepsilon' 4\pi r^2 dr$

полная внутренняя энергии звезды

Если
$$\Gamma = 5/3$$
 $E_T = -\frac{1}{2}W$

Теорема вириала для звезд

Полная энергия звезды

$$E = -\frac{3\Gamma - 4}{3(\Gamma - 1)}|W|$$

Без ядерного горючего полная энергия Е убывает благодаря излучению. Принимая во внимание, что

$$W = -\frac{3(\Gamma - 1)}{5\Gamma - 6} \frac{GM^2}{R}$$

звезда сжимается при Г>4/3. Что дальше?

Для идеального газа Максвелла-Больцмана $P = \frac{\rho_0}{\mu m_{..}} kT$

$$P = \frac{\rho_0}{\mu m_u} kT$$

$$-W = 3 \int_0^R P 4\pi r^2 dr = \frac{3k\bar{T}}{\mu m_u} \int_0^R \rho_0 4\pi r^2 dr = \frac{3M}{\mu m_u} k\bar{T}$$

При сжатии Т∞ M/R, но р∞M/R³ , т.е. при давление растет быстрее! Нарушение Максвелла-Больцмана => газ становится вырожденным

Средний импульс электронов

$$\Delta p \sim \left(6m_e k \overline{T}_s\right)^{1/2} \sim \left(\frac{12m_e G M m_p \mu}{7R}\right)$$

Среднее расстояние между электронами

$$\Delta q \sim \left(\frac{\mu m_p}{\rho}\right)^{1/3} \sim \left(\frac{4\mu m_p R^3}{M}\right)^{1/3}$$

$$(\Delta q \Delta p)^{3} \sim \left(\frac{4\mu m_{p} R^{3}}{M}\right) \left(\frac{12m_{e} GM m_{p} \mu}{7R}\right)^{3/2}$$

$$\sim 180h^{3} \left(\frac{M}{M_{Sun}}\right)^{1/2} \left(\frac{R}{R_{Sun}}\right)^{3/2}$$

При R \sim 0.03R(Sun) объем становится $\sim h^3$

Вырождение

Уравнение состояния вырожденного идеального газа фермионов

$$P = K \rho_0^{\Gamma}$$

Нерелятивистский газ электронов/нейтронов

$$\Gamma = \frac{5}{3}, \qquad K = \frac{3^{2/3} \pi^{4/3}}{5} \frac{\hbar^2}{m_e m_u^{5/3} \mu_e^{5/3}} \quad \Gamma = \frac{5}{3}, \qquad K = \frac{3^{2/3} \pi^{4/3}}{5} \frac{\hbar^2}{m_n^{8/3}}$$

Релятивистский газ электронов/нейтронов

$$\Gamma = \frac{4}{3}, \qquad K = \frac{3^{1/3}\pi^{2/3}}{4} \frac{\hbar c}{m_u^{4/3}\mu_e^{4/3}} \qquad \Gamma = \frac{4}{3}, \qquad K = \frac{3^{1/3}\pi^{2/3}}{4} \frac{\hbar c}{m_n^{4/3}}$$

Предел массы белого карлика/ нейтронной звезды

Плотность фермионов

в звезде

$$n \sim N/R^3$$

Импульс фермиона

Энергия Ферми релятивистского фермиона

Гравитационная энергия фермиона

Объем на фермион

$$\Delta V \sim R^3/N$$

$$\Delta p \sim \eta n^{1/3}$$

$$E_F \sim \eta n^{1/3} c \sim \frac{\eta c N^{1/3}}{R}$$

$$E_G \sim -\frac{GMm_p}{R}$$

Предел массы белого карлика/ нейтронной звезды

Предельное число фермионов, удерживаемых гравитацией

$$E_F = E_G - > \frac{\eta c N^{1/3}}{R} = \frac{GNm_p^2}{R}$$

$$N_{\text{max}} \sim \left(\frac{\eta c}{Gm_n^2}\right)^{3/2} \sim 2.10^{57}$$
 $M_{\text{max}} \sim N_{\text{max}} m_p \sim 1.5 M_{Sun}$

$$M = 1,457 \left(\frac{2}{\mu_e}\right)^2 M_{\odot}$$

Предельные массы БК и НЗ примерно одинаковы, но радиусы сильно отличаются

• Из теории политроп, для белых карликов

$$R_{wd} \propto \frac{K}{M^{1/3}}$$
 $R_{wd} = 0.89 \times 10^4 \text{ km} \left(\frac{M}{M_{\text{sun}}}\right)^{-1/3} \left(\frac{\mu_e}{2}\right)^{-5/3}$

• 3десь...

$$P_c = K
ho_c^{5/3}$$
 $K = rac{1}{5} \Big(rac{3}{8\pi}\Big)^{2/3} rac{h^2}{m_e m_p^{5/3} \mu_e^{5/3}}$ сса частицы

Масса частицы производящей давление вырожденного газа

Число нуклонов на вырожденную частицу

• По аналогии, для нейтронной звезды (в грубом приближении)...

$$R_{ns} \propto \frac{K_n}{M^{1/3}}$$
 $P_n = K_n \rho^{5/3}$ $K_n = \frac{1}{5} \left(\frac{3}{8\pi}\right)^{2/3} \frac{h^2}{m_n^{8/3}}$

здесь вырожденные частицы имеют массу m_n , и $\mu=1$

• Мы можем оценить радиус нейтронной звезды, принимая во внимание что мы знаем радиус белого карлика

$$\frac{R_{ns}}{R_{wd}} \approx \frac{m_e}{m_n} 2^{5/3} \left(\frac{M_{wd}}{M_{ns}}\right)^{1/3}$$

– для БК

$$R_{wd} \gg 10^4 \text{ km}$$

– получаем для H3
$$R_{ns} \gg 15 \text{ km}$$

- Если масса вырожденного ядра превышает 1.4М_☉, давление вырожденных электронов не может сдержать дальнейшее сжатие
- Ядро звезды начинает коллапсировать...
 - ρ≈10⁶ g/cm³ плотность ядра, когда ядро начинает коллапсировать (влияние релятивистских эффектов на движение электронов)
 - ρ≈10⁷ g/cm³ энергия Ферми превышает разницу масс между протонами и нейтронами (≈1.3 MeV)...
 - Обратный бета распад становится возможным и энергетически выгодным перед прямым распадом

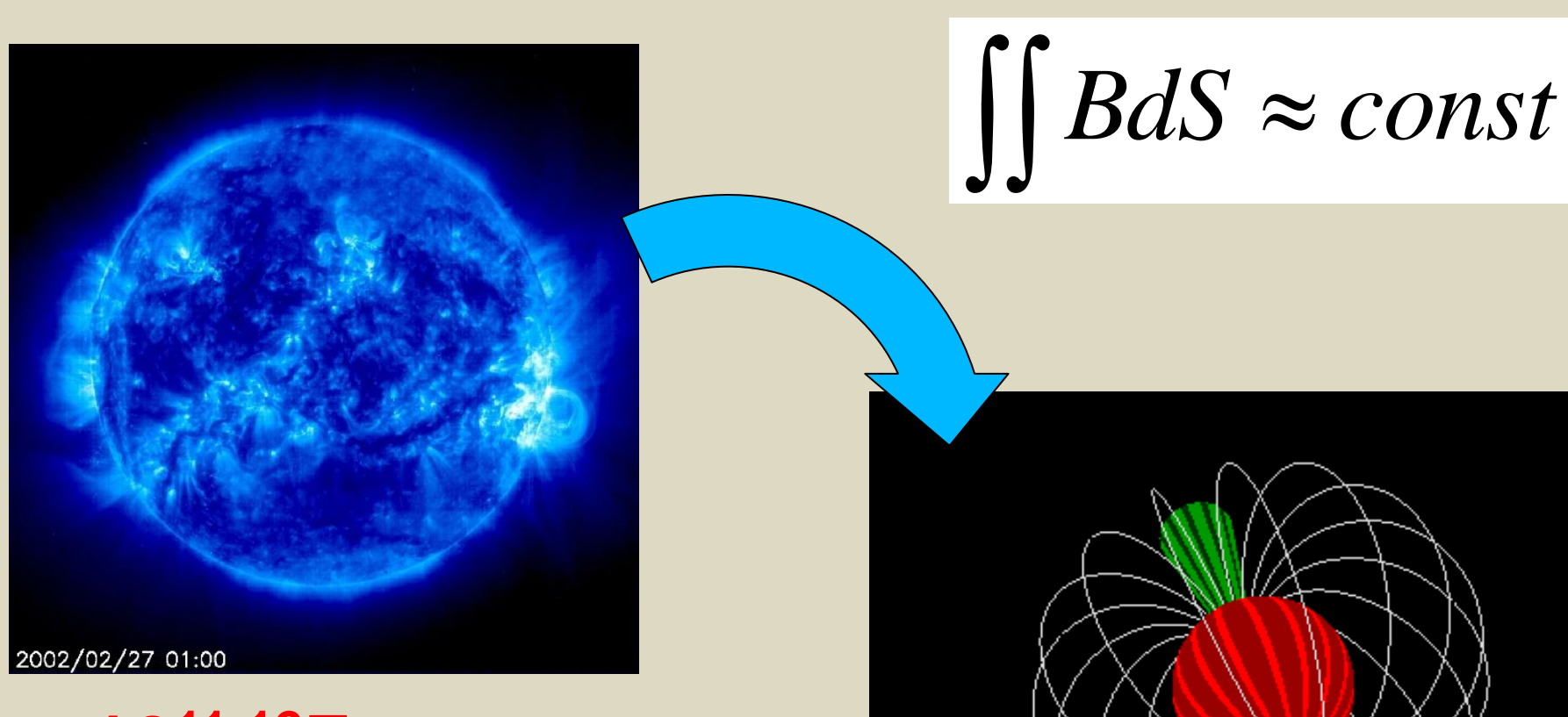
$$p + e^- \rightarrow n + \nu$$

• Ядра начинают обогащаться нейтронами ... нейтронизация

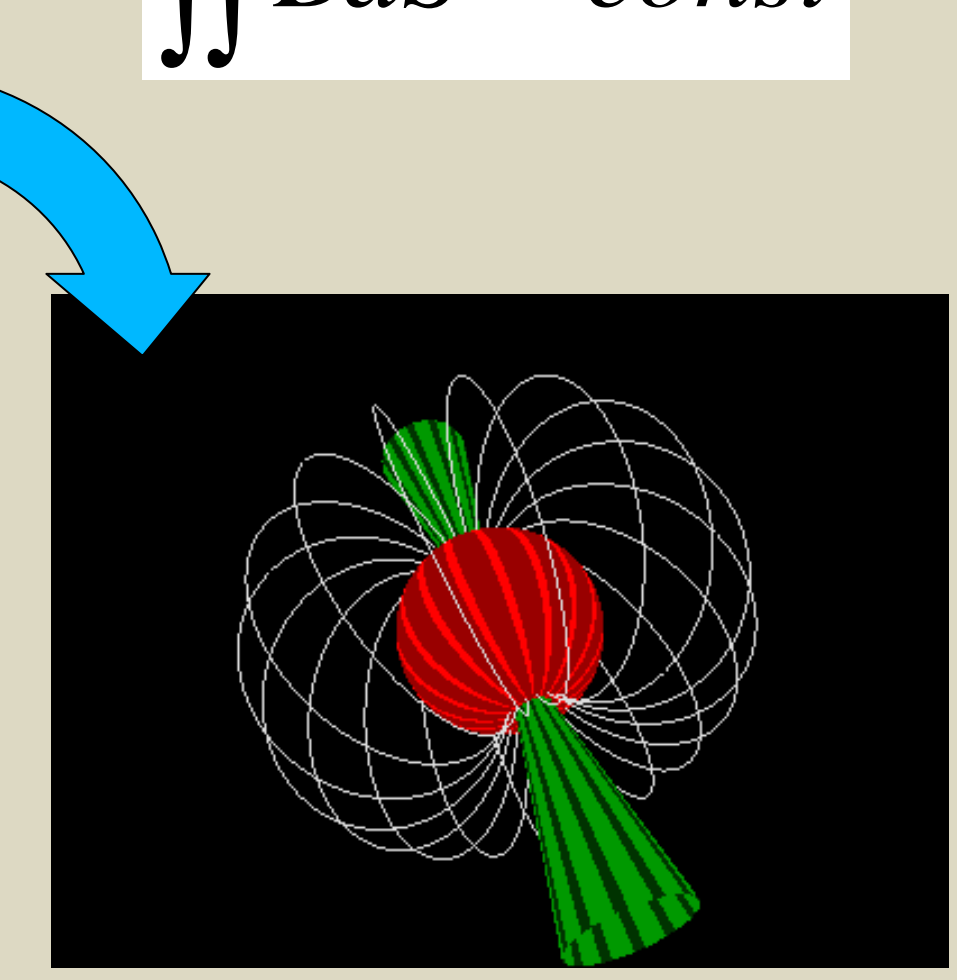
- ρ≈10⁸ g/cm³ ядра настолько обогащаются нейтронами, что начинают разваливаться
 - Оставшиеся ядра окружены «морем» свободных нейтронов
- ρ≈10¹⁰ g/cm³ Давление вырожденных нейтронов становится существенным
- ρ≈10¹² g/cm³ давление вырожденных нейтронов окончательно останавливает коллапс, масса остатка М<2-3М_☉
- Образование нейтронной звезды... типичная масса 1.4М_⊙ и радиус около 10-15 км

Магнитные поля и периоды вращения

1Гс, 700 тыс.км, 27 дн

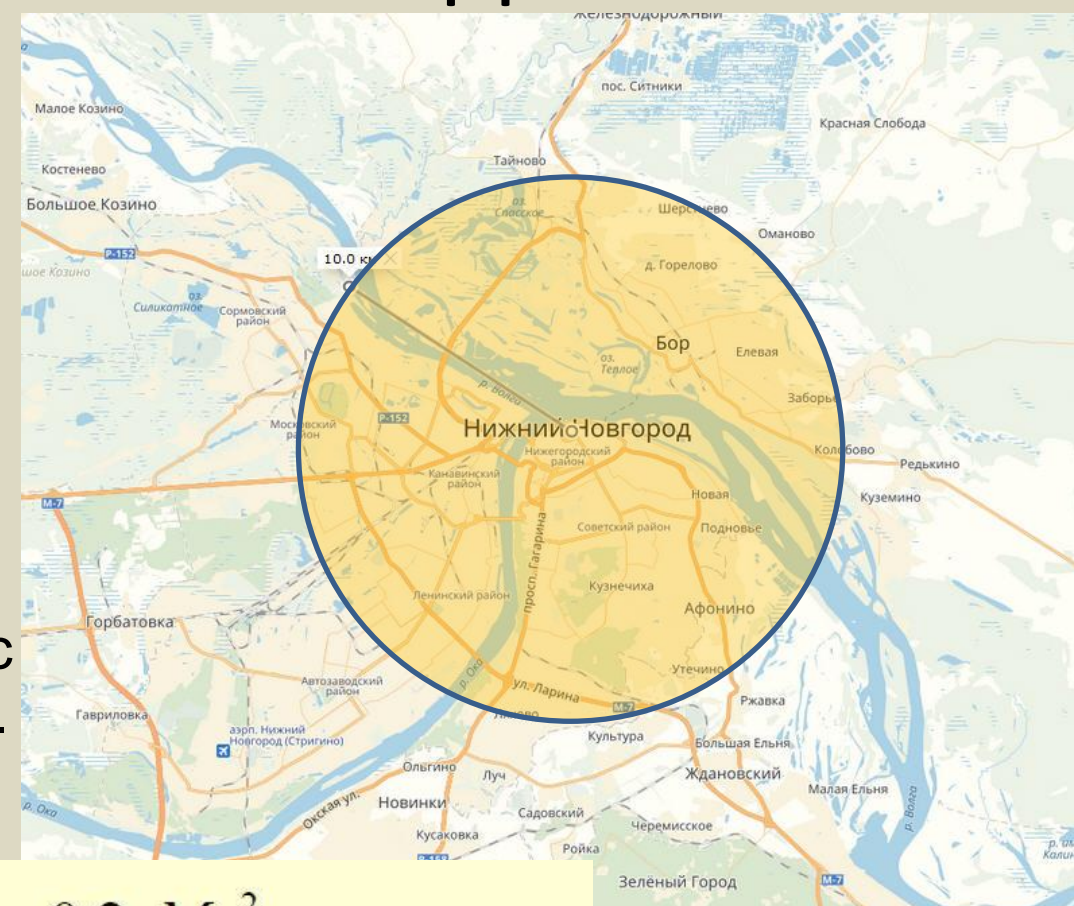


10¹¹⁻¹²Γc, 10 км сек-миллисек



Нейтронная звезда

- Радиус: 10-15 km.
- Массы: 1.2-2.0М_⊙ (точно измеряются для пульсаров в двойных системах)
- Плотно упакованные нейтроны, «гигантское ядро» с N~10⁵⁷
- Магнитное поле 10⁸- 10¹⁵ Гс
- Периоды вращения 1.4 мс -1000 с.



$$U \sim GM^2/R \sim 5 \times 10^{53} \ \mathrm{erg} \sim 0.2 \ Mc^2$$
 $g \sim GM/R^2 \sim 2 \times 10^{14} \ \mathrm{cm/s^2}$ $\overline{\rho} \approx 3M/(4\pi R^3) \approx 7 \times 10^{14} \ \mathrm{g/cm^3} \sim (2-3) \ \rho_0$ $\rho_0 = 2.8 \times 10^{14} \ \mathrm{g/cm^3}$ ядерная плотность

Основные уравнения

$$c^2 d\tau^2 = \left(1 - \frac{r_s}{r}\right) c^2 dt^2 - \frac{dr^2}{1 - \frac{r_s}{r}} - r^2 \left(d\theta^2 + \sin^2\theta \, d\varphi^2\right)$$

$$r_s = \frac{2GM}{c^2}$$
 радиус Шварцшильда (= 2.95 км на $1 {
m M}_{\odot}$) горизонт событий черной дыры

простой (но неверный!) вывод: «вторая космическая

скорость = скорости света»
$$\frac{GM}{R} = \frac{mc^2}{2}$$

Гравитационный сдвиг энергии $\frac{E}{E_0} = \sqrt{1 - \frac{r_s}{r}}$

$$\frac{E}{E_0} = \sqrt{1 - \frac{r_s}{r}}$$

Для Земли (отн. бесконечности)

Для БК

$$r_s = 9$$
 mm, $\frac{\Delta E}{E_0} \sim 7 \times 10^{-10}$ $\frac{\Delta E}{E_0} \sim 7 \times 10^{-6} \sim 20 - 80$ km/cek

Основные уравнения

Уравнение Оппенгеймера-Волкова

$$\frac{dP}{dr} = -\frac{GM_r\rho}{r^2} \left(1 + \frac{P}{\rho c^2}\right) \left(1 + \frac{4\pi r^2 P}{M_r c^2}\right) \left(1 - \frac{2GM_r}{rc^2}\right)^{-1}$$

Полная масса звезды

$$M_r = \int_0^r 4\pi r^2 \rho(r) dr$$

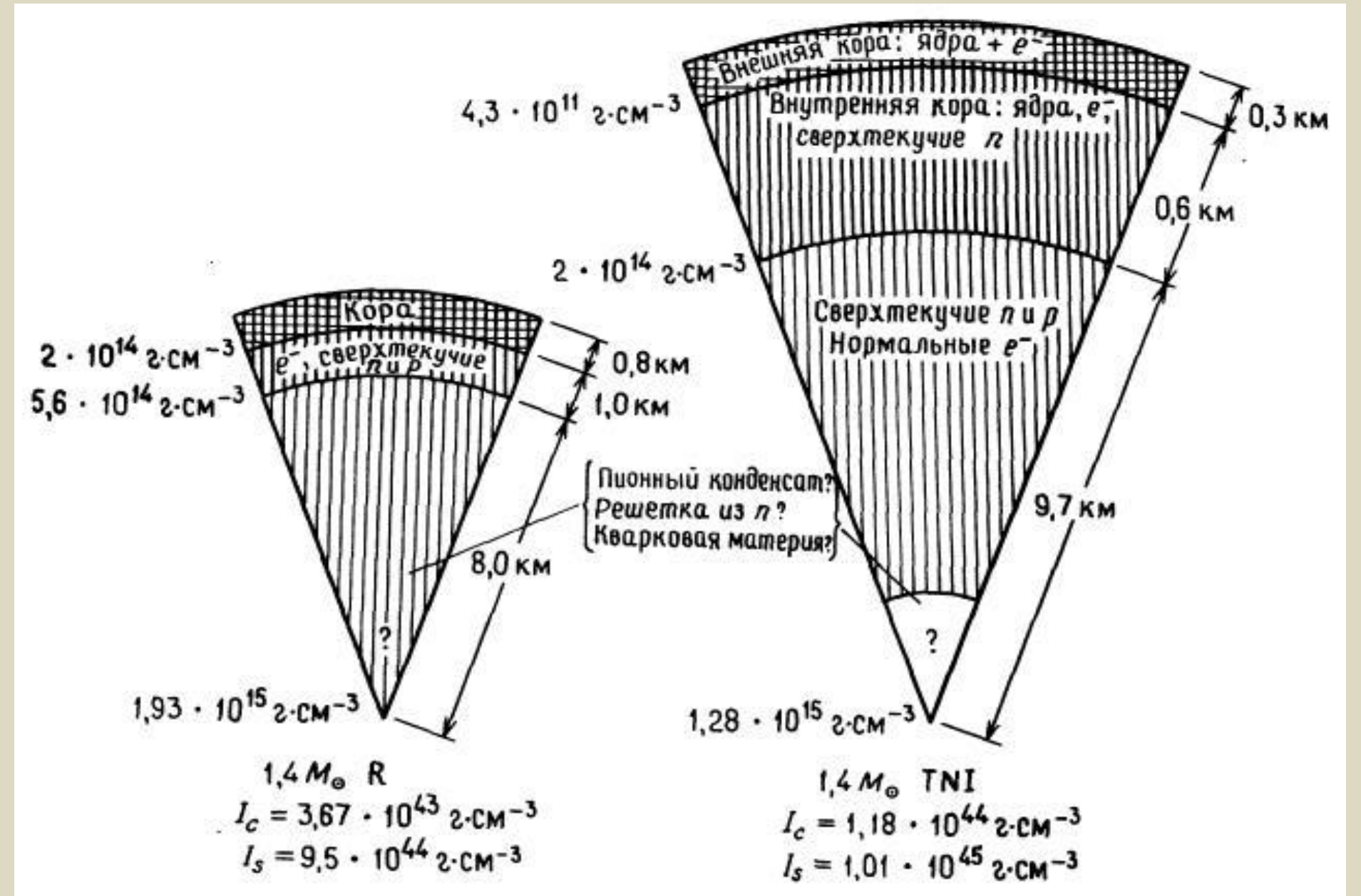
Уравнение состояния

$$P = P(\rho)$$

Основная проблема

Внутренняя структура НЗ, максимальная масса НЗ

Строение нейтронной звезды



Соотношение масса-радиус

- M-R зависит от внутреннего состава НЗ и уравнения состояния (неизвестно для очень высоких плотностей)
- Определение М и R, может помочь определить состав и уравнение состояния H3
- Массы определяются для двойных систем, точное измерение радиусов очень сложно

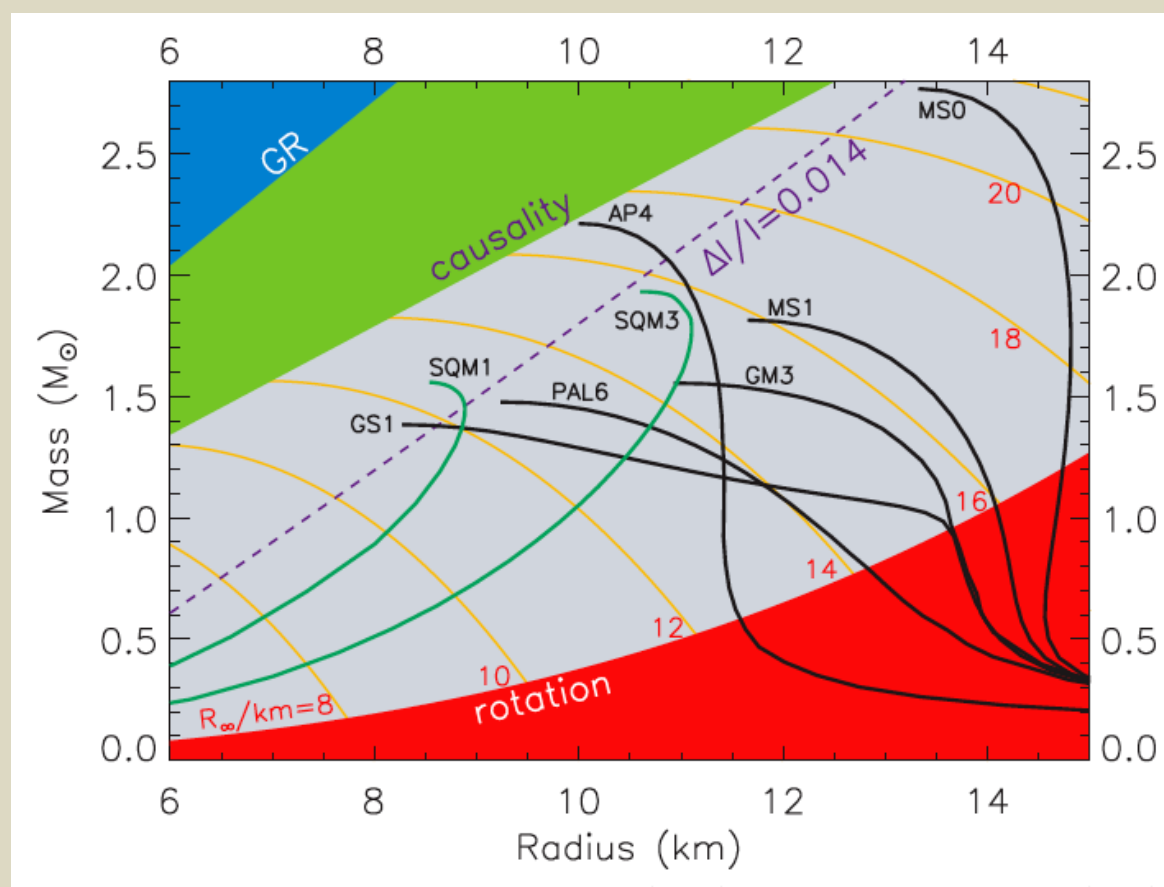
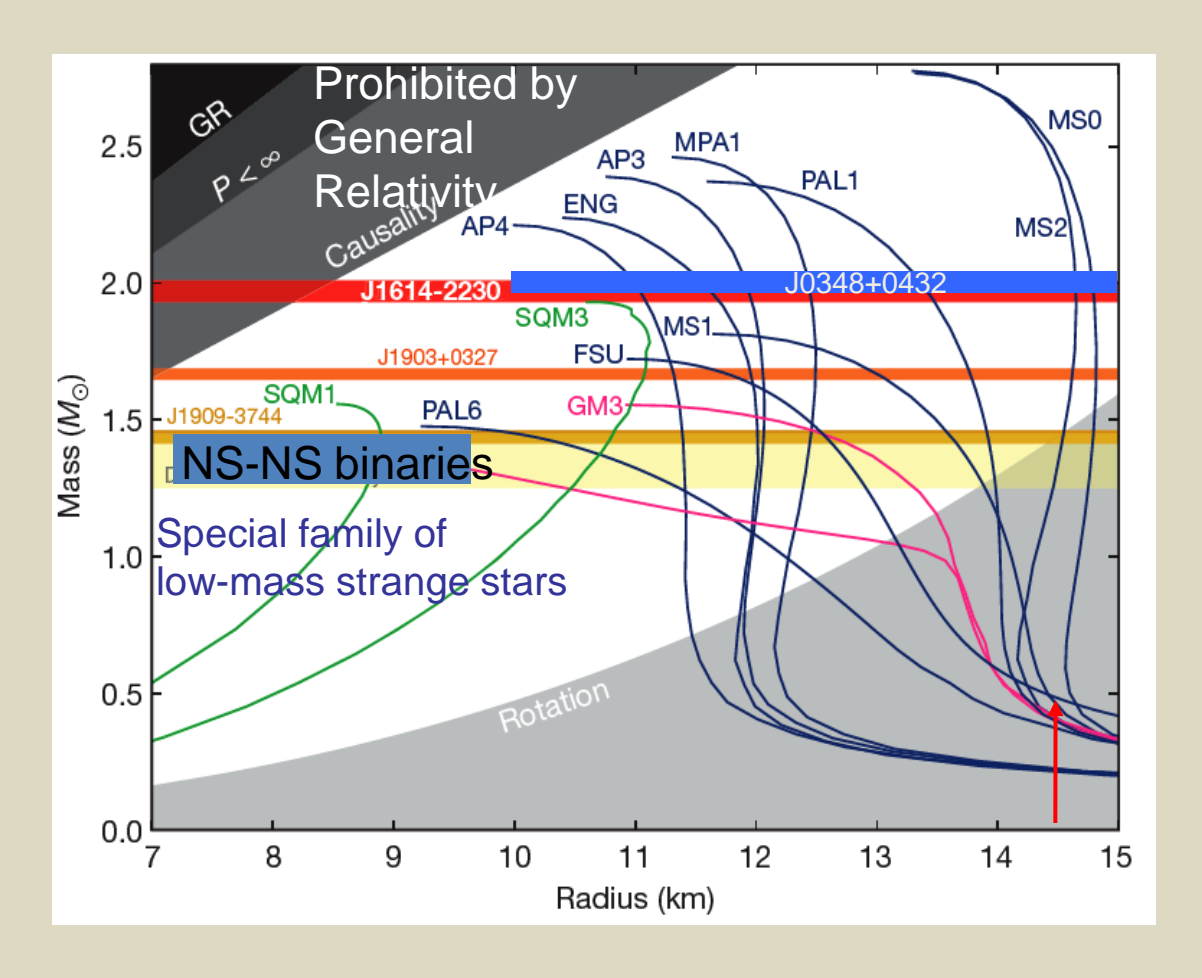


Fig. 2. Mass-radius diagram for neutron stars. Black (green) curves are for normal matter (SQM) equations of state [for definitions of the labels, see (27)]. Regions excluded by general relativity (GR), causality, and rotation constraints are indicated. Contours of radiation radii R_{∞} are given by the orange curves. The dashed line labeled $\Delta I/I = 0.014$ is a radius limit estimated from Vela pulsar glitches (27).

Массы некоторых пульсаров



Наибольшие измеренные массы нейтронных звезд — пульсаров

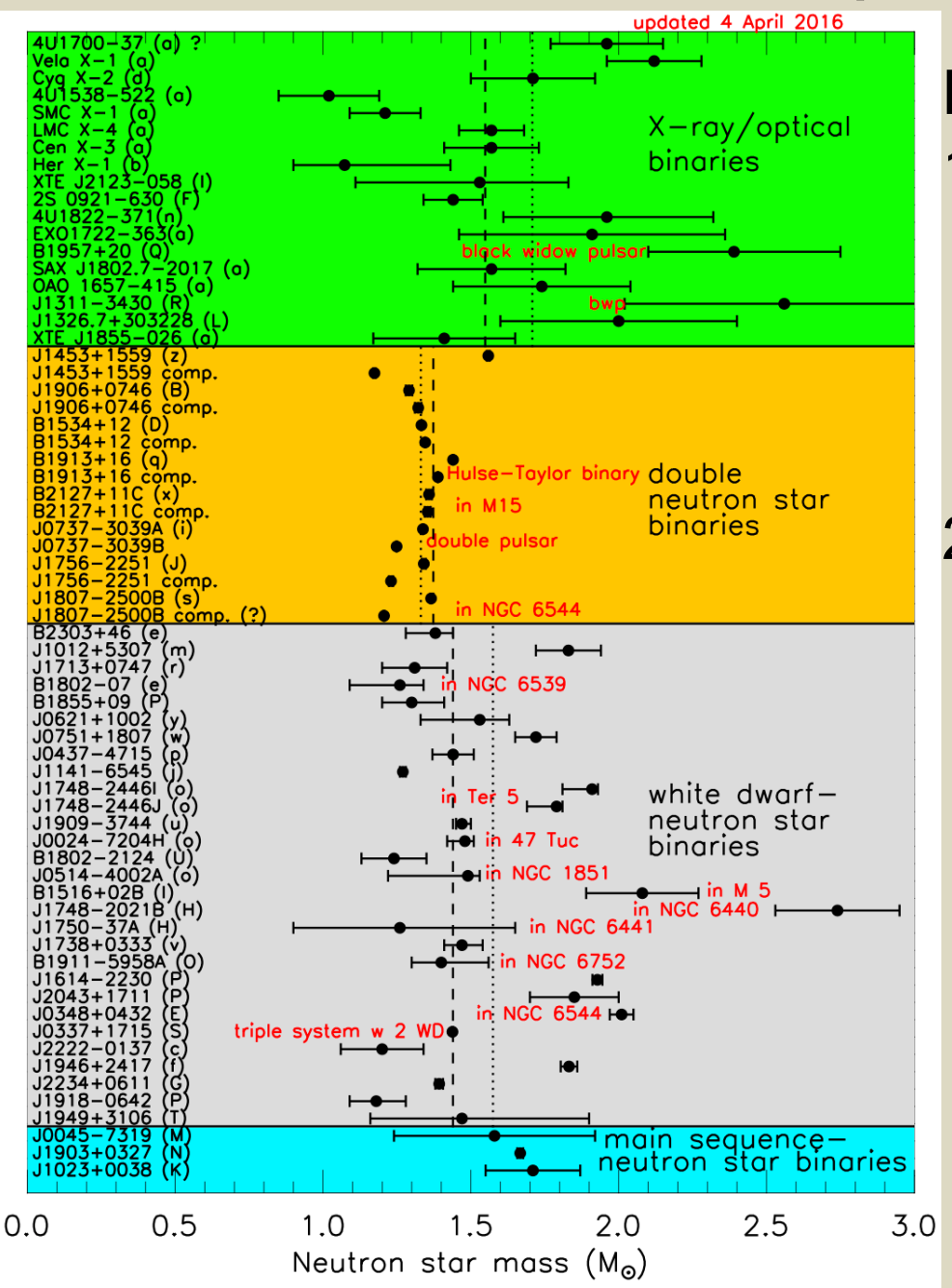
для J1614-2230

 $M=(1.97\pm0.04)M_{\odot}$

для J0348+0432

 $M=(2.01\pm0.04)M_{\odot}$

Массы нейтронных звезд



Измерения:

- 1) Скорее всего, мягкие уравнения состояний можно отбросить (оставляем жесткие и средние)
- 2) Свидетельствуют о полностью нуклонном составе плотной материи

Определение радиусов проблематично Наблюдаемые характеристики

излучения (???)

Как светят нейтронные звезды?

Остывание поверхности

Энергия вращения

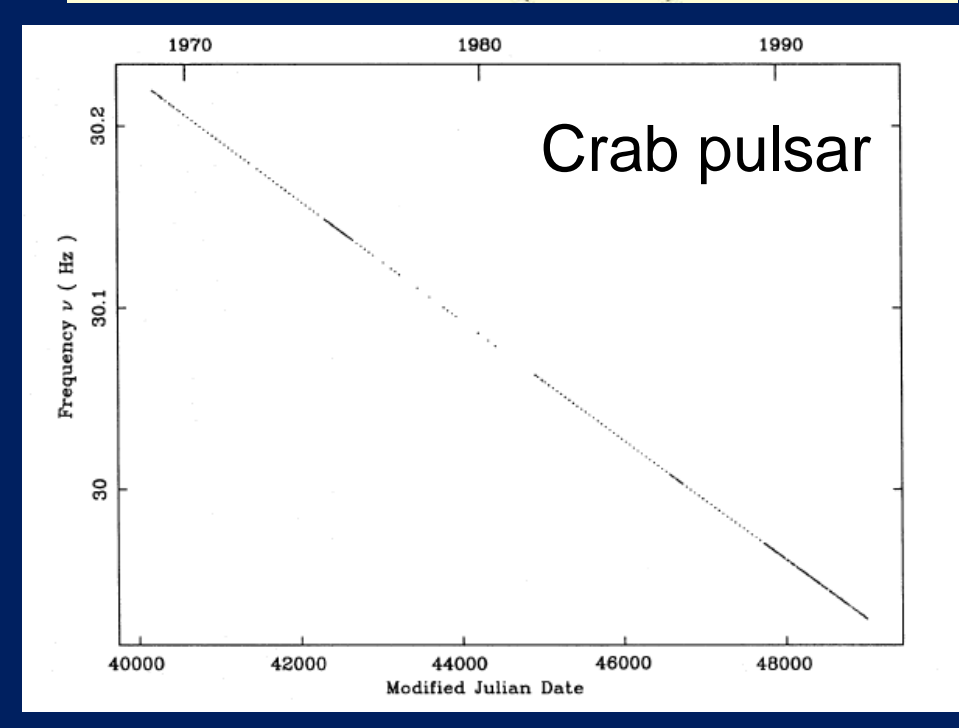
Аккреция в двойной системе

Энергетика одиночных пульсаров

Пульсары замедляются => потеря энергии вращения – можно ли объяснить наблюдаемое излучение?

$$E = \frac{1}{2}I\Omega^{2} = \frac{I}{2}\left(\frac{4\pi^{2}}{P^{2}}\right) = \frac{2\pi^{2}I}{P^{2}}$$

$$\frac{dE}{dt} = \frac{d}{dt} \left(\frac{2\pi^2 I}{P^2} \right) = -\frac{4\pi^2 I}{P^3} \frac{dP}{dt}$$



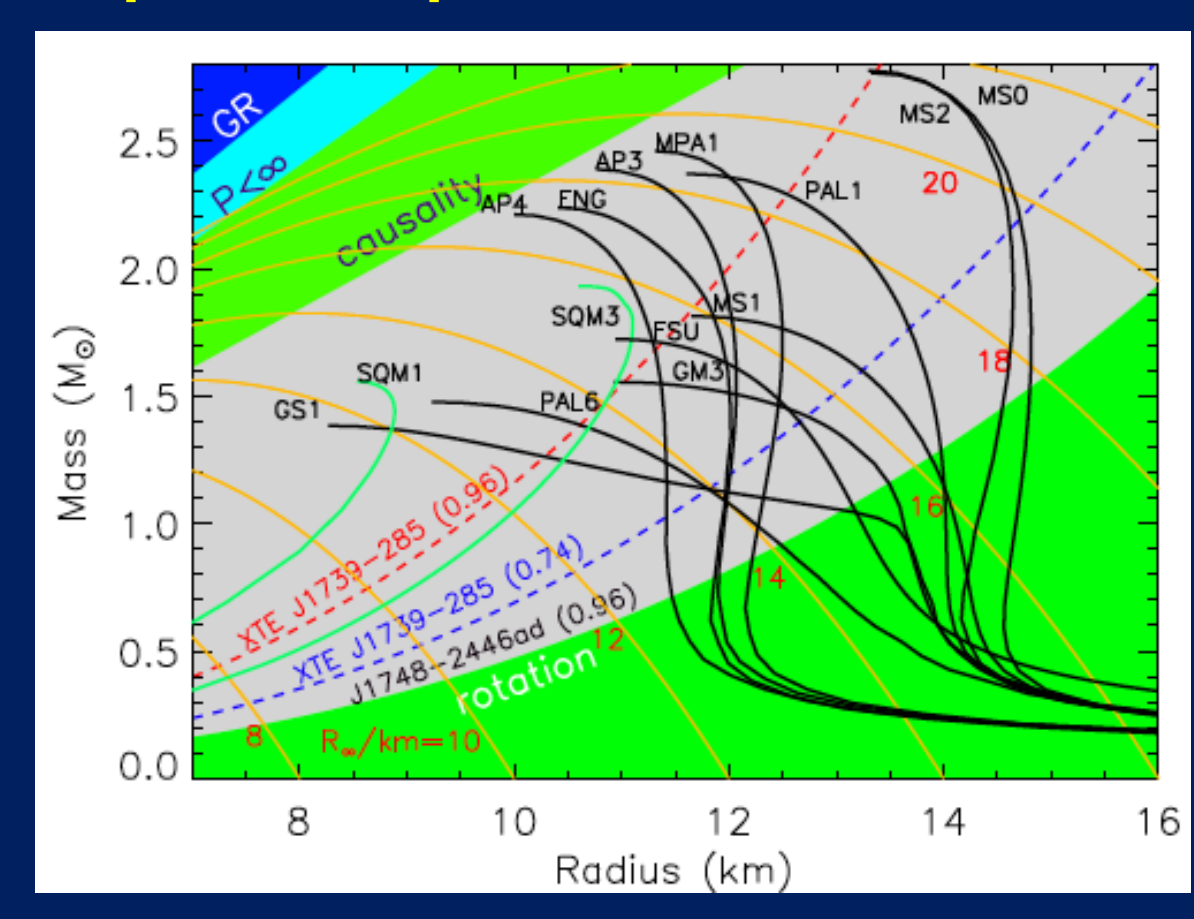
$$M=1.4M_{\odot}$$
; $P=0.033$ s; $R=10^{6}$ cm
$$\frac{1}{P}\frac{dP}{dt} \sim 10^{-11} s^{-1}$$

$$dE/dt \approx L \sim 10^{37-38}$$
 эрг/с $L\sim 10^{4-5} L_{\odot}$

Ограничения на массу-радиус НЗ из быстрого вращения

Существование пульсара J1748-2446аd, который вращается с частотой 716 Гц, не позволяет НЗ иметь слишком большой радиус для данной массы.

Предел на массу (Haensel et al. 2009)



$$f \le 1.04 \left(M_{\text{sph}} / M_{\text{sun}} \right)^{1/2} \left(R_{\text{sph}} / 10 \text{km} \right)^{-3/2} \text{kHz}$$

Основной механизм выделения энергии

– аккреция на компактный объект



Здесь потенциальная энергия гравитационного поля переводится в кинетическую энергию воды

Аккреция на релятивистские компактные объекты (Н3, ЧД)

- Аккреция падение вещества под действием гравитационного притяжения объекта
- Черные дыры можно обнаружить лишь по их влиянию на окружающие тела
- > Откуда берется вещество?
 - межзвездное
 - с соседней звезды в двойной системе
- Самые яркие объекты в Галактике связаны с аккрецией на НЗ и ЧД в двойных системах

Аккреция на релятивистские компактные объекты (НЗ, ЧД)

$$L \sim \frac{GM_c\dot{M}}{R_c} \sim \left(\frac{2R_c}{R_s}\right)^{-1} \times \dot{M}c^2 = \eta \times \dot{M}c^2$$
 Светимость Эффективность $\eta = \left(\frac{2R_c}{R_s}\right)^{-1}$

$$\eta = \left(\frac{2R_c}{R_s}\right)^{-1}$$

$$\frac{\dot{M} \sim 10^{-8} \text{ M}_{\text{sun}}/\text{yr}}{\text{L}_{\text{x}} \sim 10^{-8} \text{ erg/s}} \Longrightarrow (\eta \sim 0.1, R_c \sim 5R_s \text{ (\sim 15 km for 1 M}_{\text{sun}})$$

$$R \sim 5R_s \sim 15 \frac{M}{M_{Sun}} \kappa M$$

 $S = 4\pi R^2$ — излучающа яповерхность

$$L = \sigma_{SB} T^4 S -$$
 за конСте фа на $-$ Больцма на

$$T = 1.6 \bullet 10^7 \, \text{K} \left(\frac{\text{M}}{\text{M}_{\text{Sun}}} \right)^{-1/2}$$

Рентгеновский диапазон

Саяно-Шушенская ГЭС — <u>скорость падения воды <70 м/с</u> (23.5 млрд кВтч в год ~ 8.5х10¹⁶ Дж в год)

Белый карлик (БК) (~масса Солнца, размер ~10 тыс. км.) - скорость падения ~1000 км/сек!

Нейтронная звезда (НЗ) (~масса Солнца, размер ~10 км) - скорость падения ~150 000 км/сек!

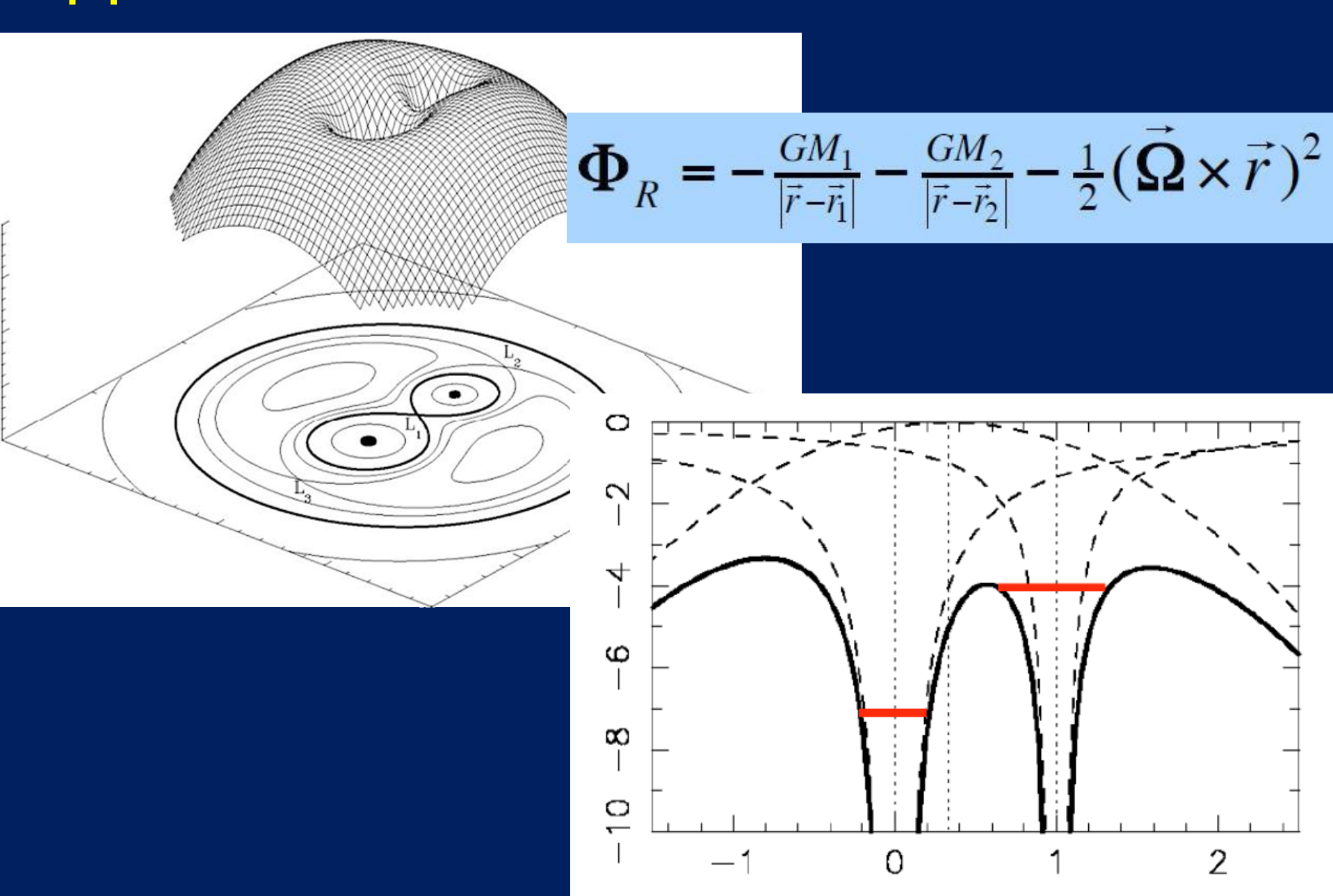
Черная дыра (ЧД) – несколько масс Солнца скорость падения ~300 000 км/сек!

Энерговыделение за счет аккреции на НЗ и ЧД в сотни раз больше чем в термоядерных реакциях!

400 кг вещества при аккреции на НЗ даст энергии достаточной для всей России на год!

(1 триллион кВтч)

Двойные системы. Полость Роша



Вещество в аккреционном диске нагревается до нескольких миллионов градусов => рентгеновское излучение

Релятивистская звезда

звезда-Компаньон (5000 K)

100 млн. К!



Движение вещества (нагрев)

Атмосфера Н3

При типичной аккреции Mdot~10-9Msun/год

Темп накопления
$$\Sigma > \frac{10^{-9} Ms / year}{4\pi R^2} > 5 \times 10^3 \varepsilon / cm^2 / cek$$

Высота однородной атмосферы НЗ

$$\frac{dP}{dz} = \rho g$$

$$P = \frac{\rho kT}{m_p}$$

$$\frac{dP}{dz} = \rho g \qquad P = \frac{\rho kT}{m_p} \qquad P = P_0 \exp\left[-\frac{m_p gh}{kT}\right]$$

$$g = \frac{GM_{ns}}{R^2} \sim 2 \times 10^{14}$$
 $h_{ns} \sim 5 cm$ $kT \sim 1$ кэВ

$$h_{ns} \sim 5cM$$

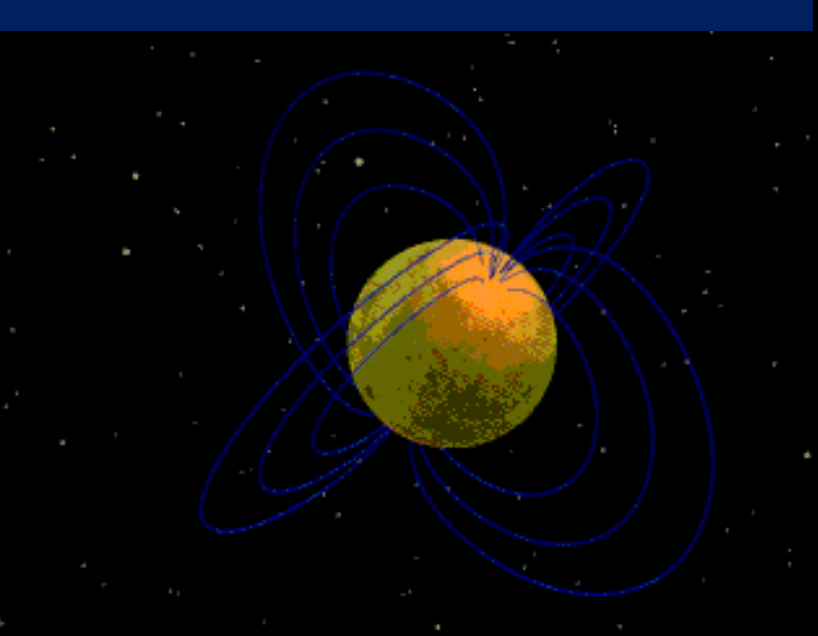
На глубине порядка 10 см за сутки копится плотность $>10^7$ г/см³

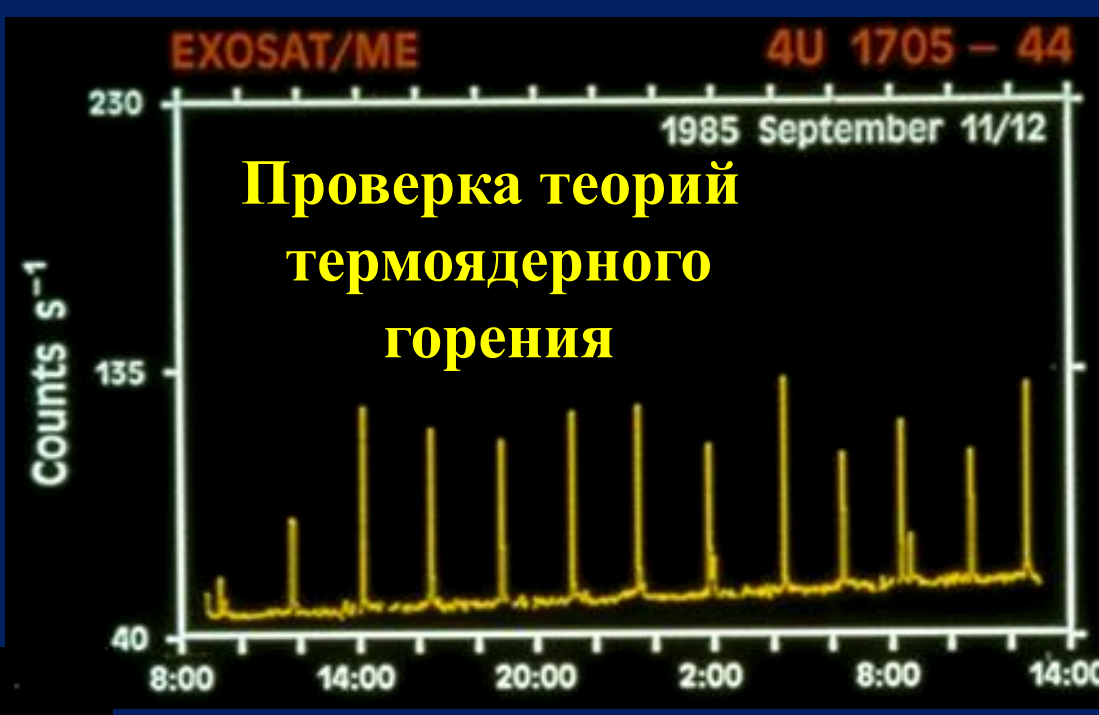
Термоядерные взрывы

Если магнитное поле H3 слабое, 10⁸⁻⁹ Гс

200-300 терабомб (10¹²) по 10 Мтонн ТNТ в секунду!

За взрыв сгорает около массы Луны

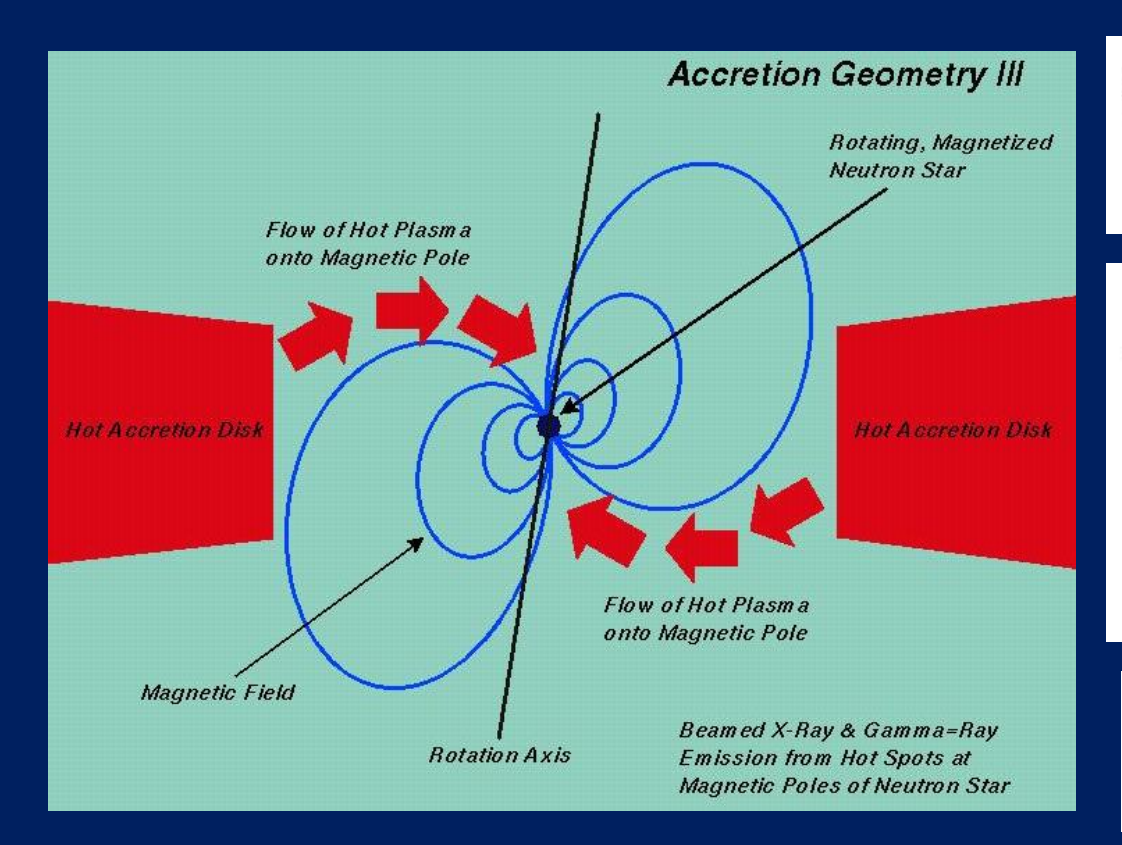




Барстер

В Галактике известны системы в которых такие взрывы происходят каждые 3-4 часа!

Если магнитное поле НЗ более сильное, то



$$\frac{(B^2(r_A)}{8\pi} = \frac{1}{2}\rho(r_A)v^2(r_A)$$

$$v(r) \approx v_{\rm ff} = \left(\frac{2GM}{r}\right)^{1/2}$$

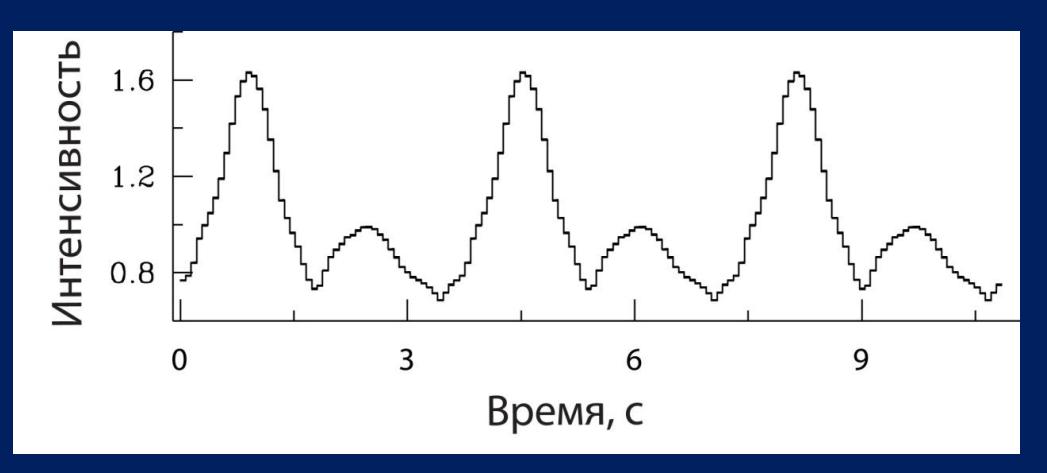
$$\rho(r) \approx \rho_{\rm ff} = \frac{M}{4\pi v_{\rm ff} r^2}.$$

$$B \approx \frac{\mu}{r^3}$$

$$r_{\rm A} = \left(\frac{\mu^4}{2GM\dot{M}^2}\right)^{1/7} = 3.2 \times 10^8 \dot{M}_{17}^{-2/7} \mu_{30}^{4/7} \left(\frac{M}{M_\odot}\right)^{-1/7} {
m cm}$$

аккрецируюший рентгеновский пульсар

Пульсирующее излучение



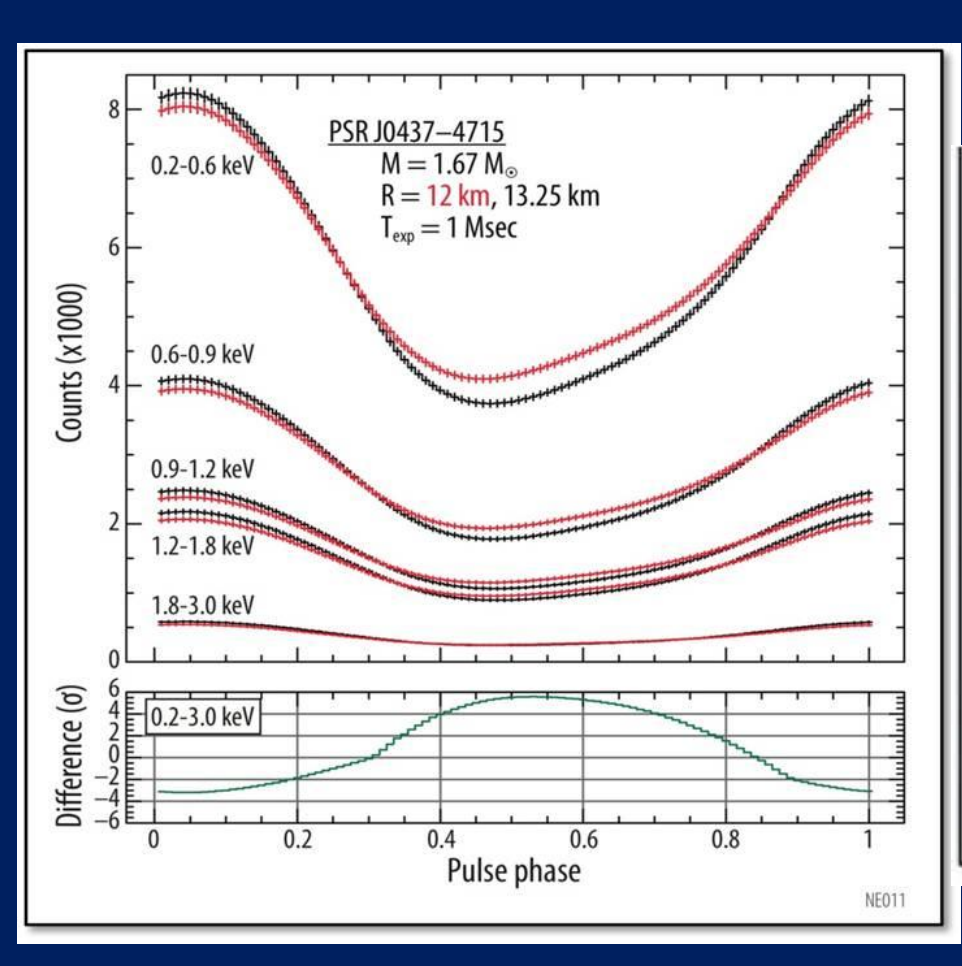
Высокая стабильность периода, повторяемость и уникальность формы импульса

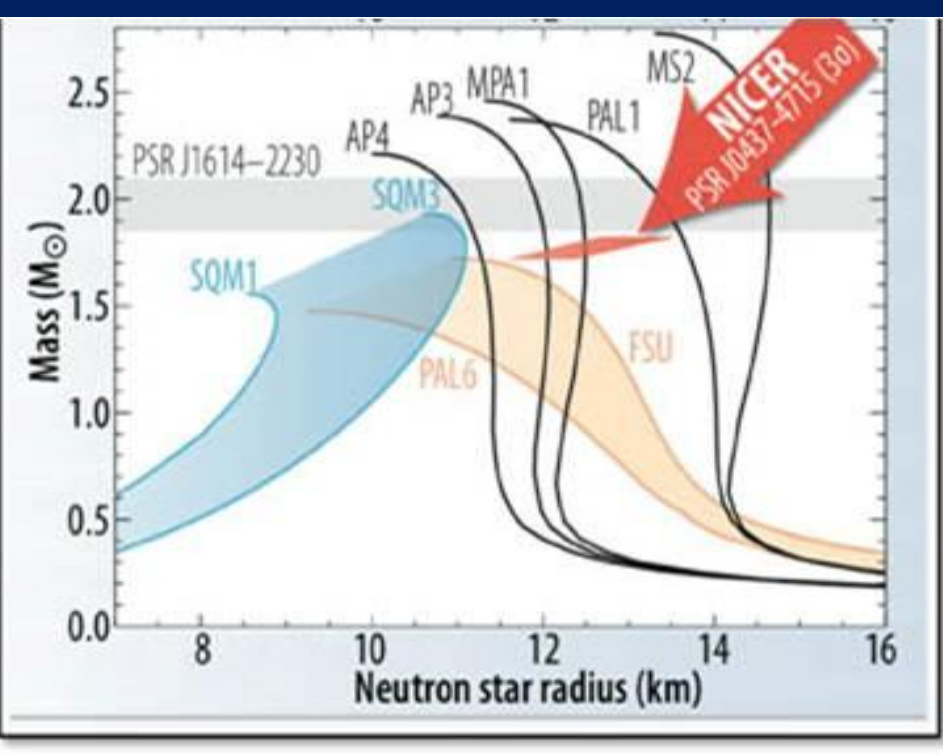
На что это похоже?



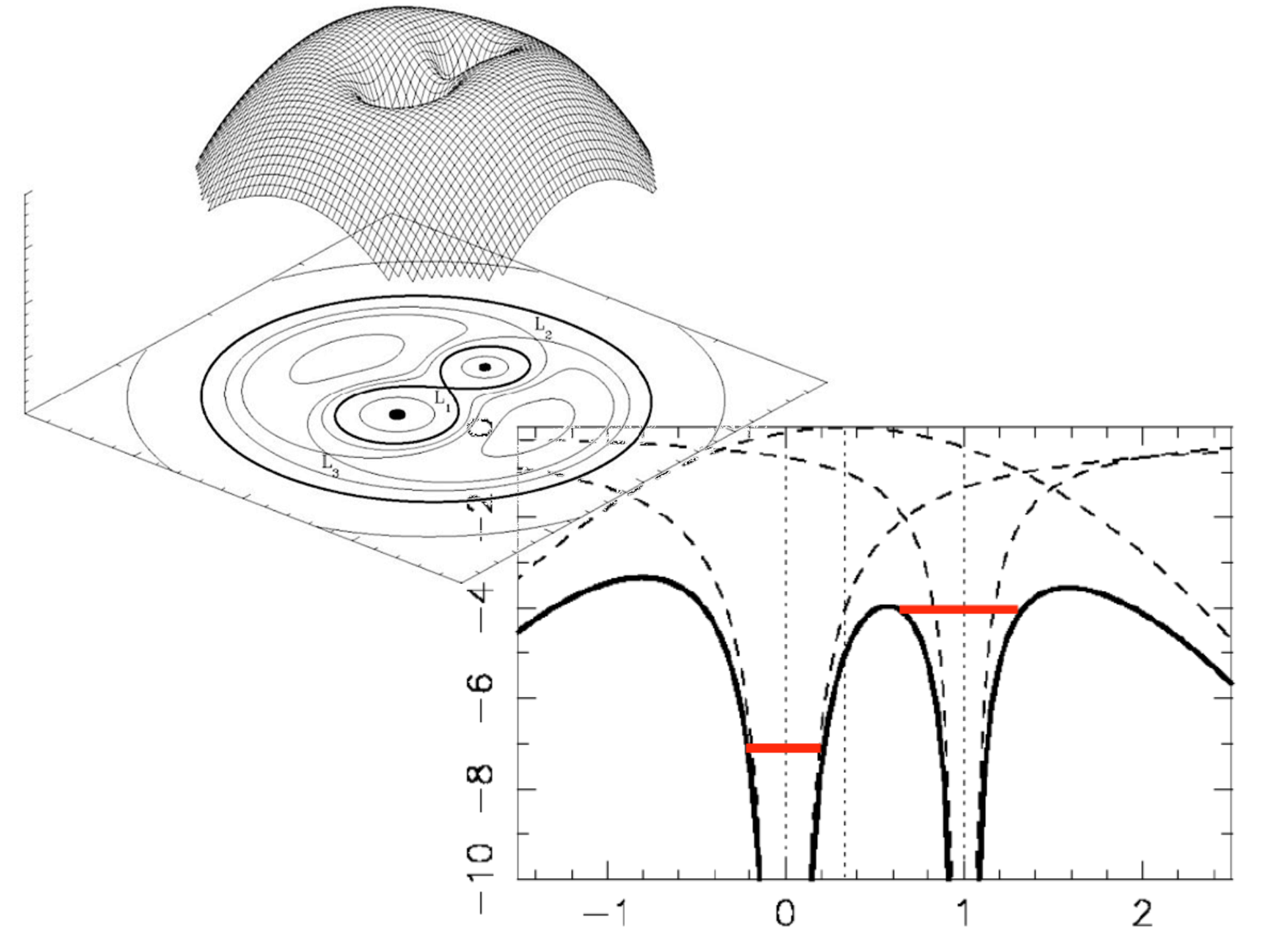
Кардиограмма человека!

Ограничение на уравнение состояния при сверхвысоких плотностях

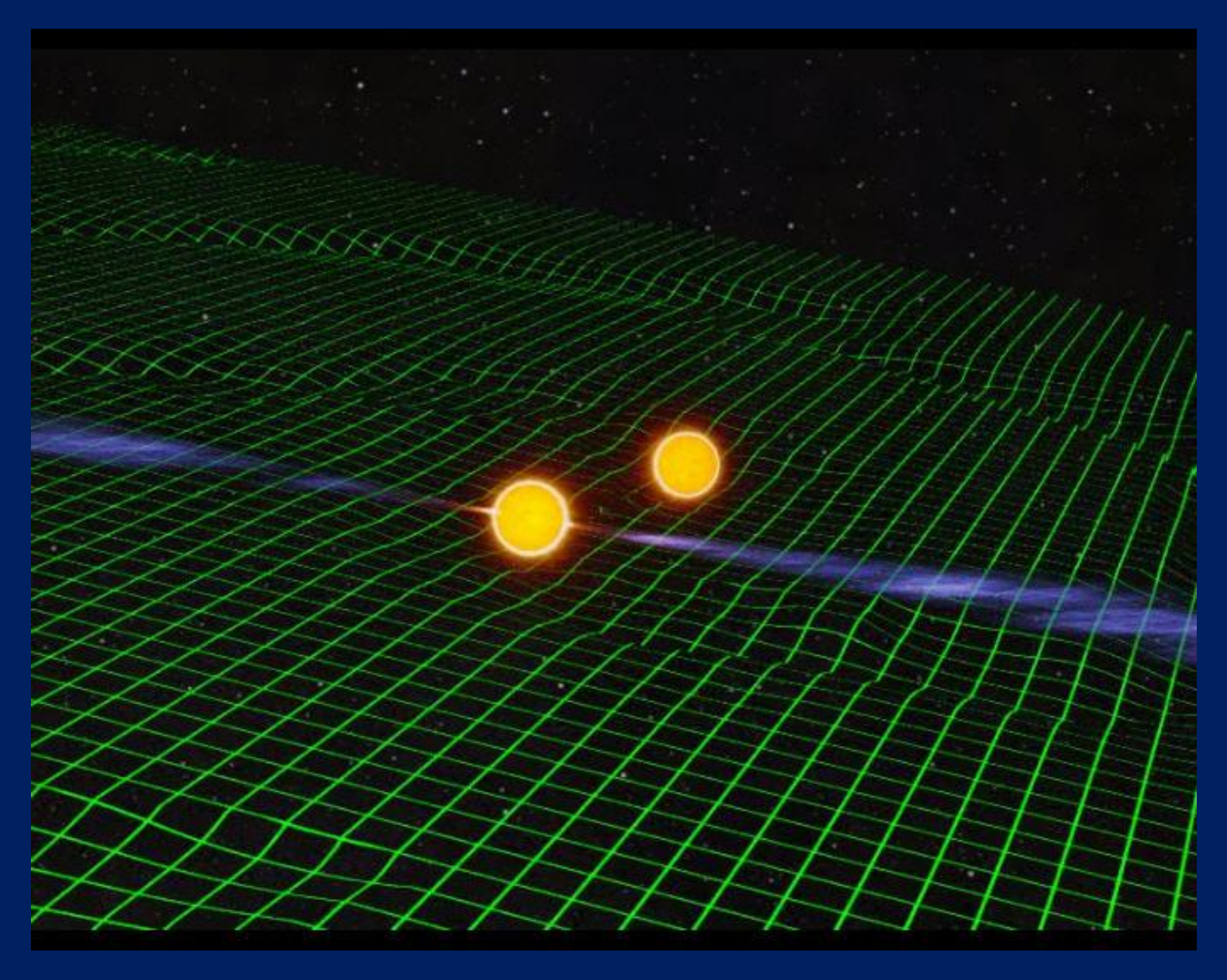




Жизнь нейтронных звезд долгая, но что в конце?



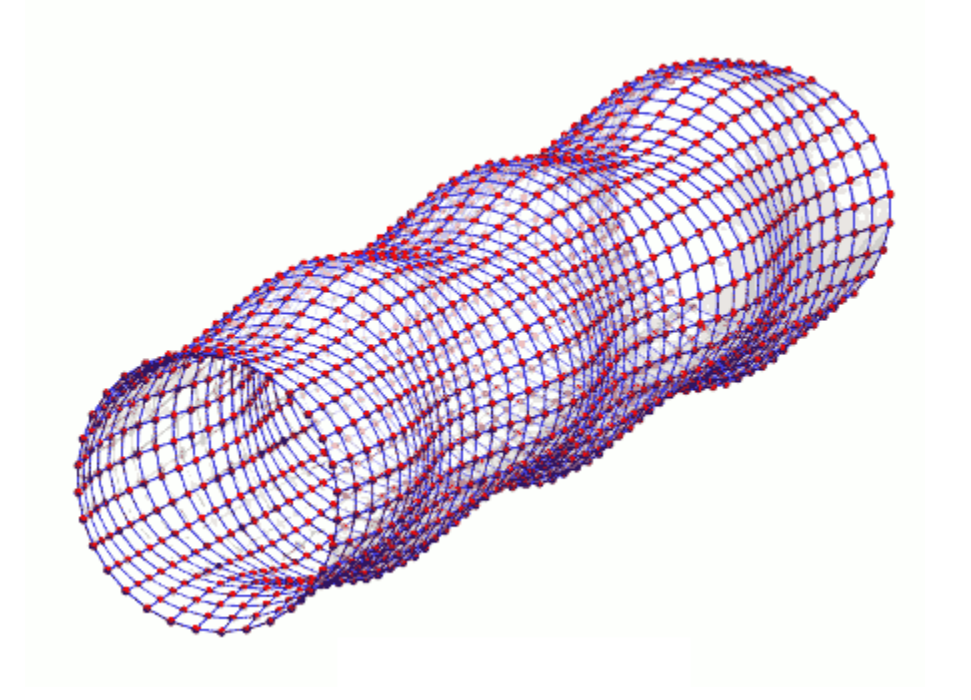
Двойные нейтронные звезды

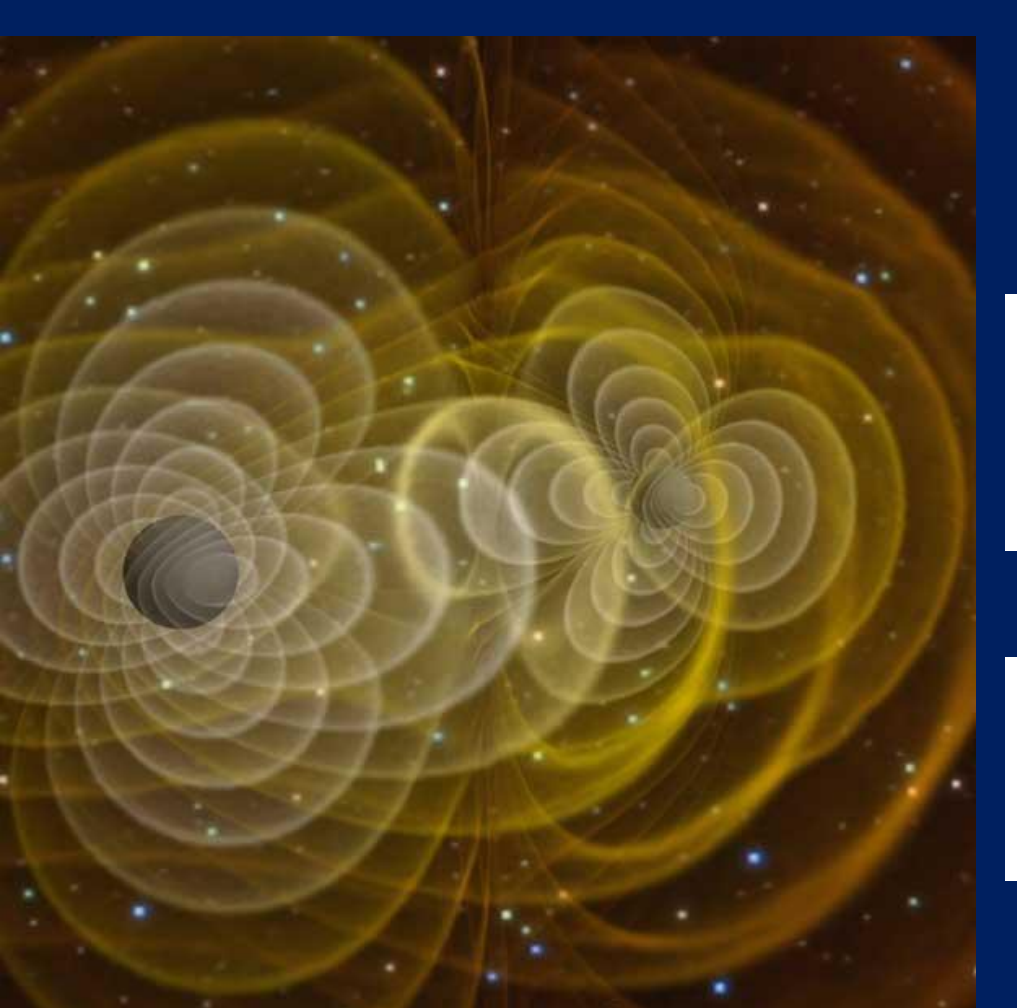


Гравитационные волны

- Следуют из Общей теории относительности волновое решение уравнений Эйнштейна. R_{max}
- Представляют собой периодическое изменение метрики пространства-времени изменяют относительное расстояние между точками пространства.
- Образуются при движении массивных тел с изменяющимся ускорением.

$$R_{\mu
u} \; - \; rac{1}{2} \, g_{\mu
u} \, R \; + \; \Lambda \; g_{\mu
u} \; = \; rac{8\pi G}{c^4} \, T_{\mu
u},$$





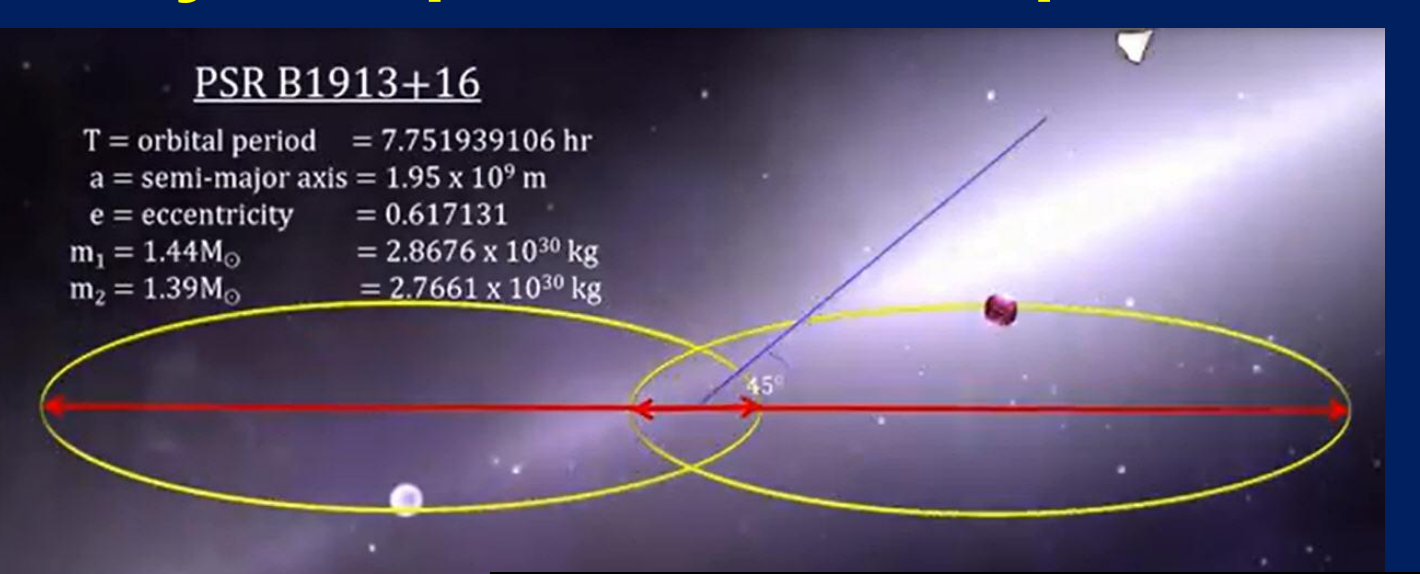
Гравитационные волны

$$\frac{dE_{orb}}{dt} = -\frac{32G^4}{5c^5} \frac{\mu^2 M^3}{a^5}$$

$$\frac{dJ_{orb}}{dt} = -\frac{32G^{7/2}}{5c^5} \frac{\mu^2 M^{5/2}}{a^{7/2}}$$

$$\tau(GW) = \left(\frac{d \ln L_{orb}}{dt}\right)^{-1} = 1.2 \times 10^{9} \left(\frac{M_{1}}{M_{o}}\right)^{-1} \left(\frac{M}{M_{o}}\right)^{-1} \left(\frac{M_{2}}{M_{o}}\right)^{-1} \left(\frac{a}{R_{o}}\right)^{4}$$

Пульсар Халсе-Тейлора PSR B1913+16



Periastron = $0.746 \times 10^6 \text{ km}$ Apastron = $3.153 \times 10^6 \text{ km}$ Inclination = 45°

Gravitational Radiation

$$P = \frac{dE}{dt} = -\frac{32G^4}{5c^5} \frac{(m_1 m_2)^2 (m_1 + m_2)}{a^5 (1 - e^2)^{7/2}} \left(1 + \frac{73e^2}{24} + \frac{37e^4}{96}\right)$$
$$= 7.35 \times 10^{24} \text{ watts}$$

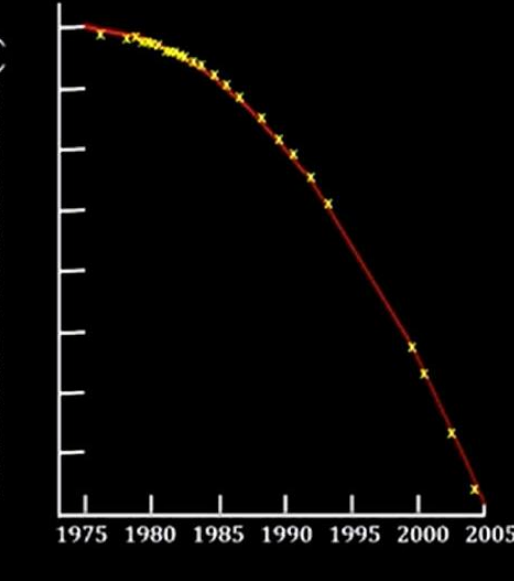
Orbital Shrinkage

$$\frac{da}{dt} = -\frac{64G^3}{5c^5} \frac{(m_1 m_2)(m_1 + m_2)}{a^3 (1 - e^2)^{7/2}} (1 + \frac{73e^2}{24} + \frac{37e^4}{96})$$
= 3.5 m/year

$$\frac{dT}{dt}$$
 = 76.5 millisecons per year

Time till merge = 300 million years

Cumulative Periastron Shift (s)



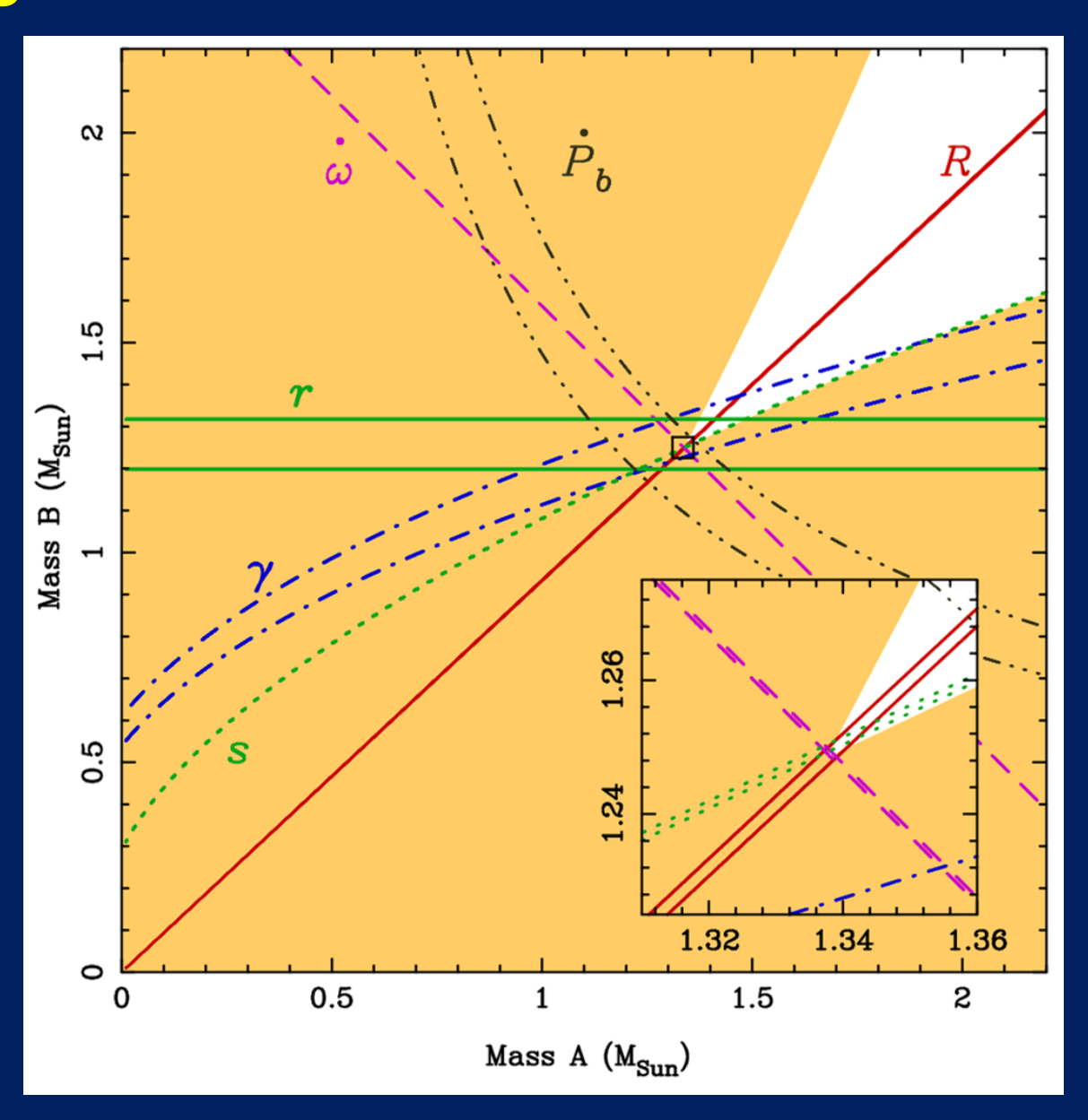
Лучший случай - PSR J0737-3039

R-отношение масс (орбиты)

W-прецессия орбиты

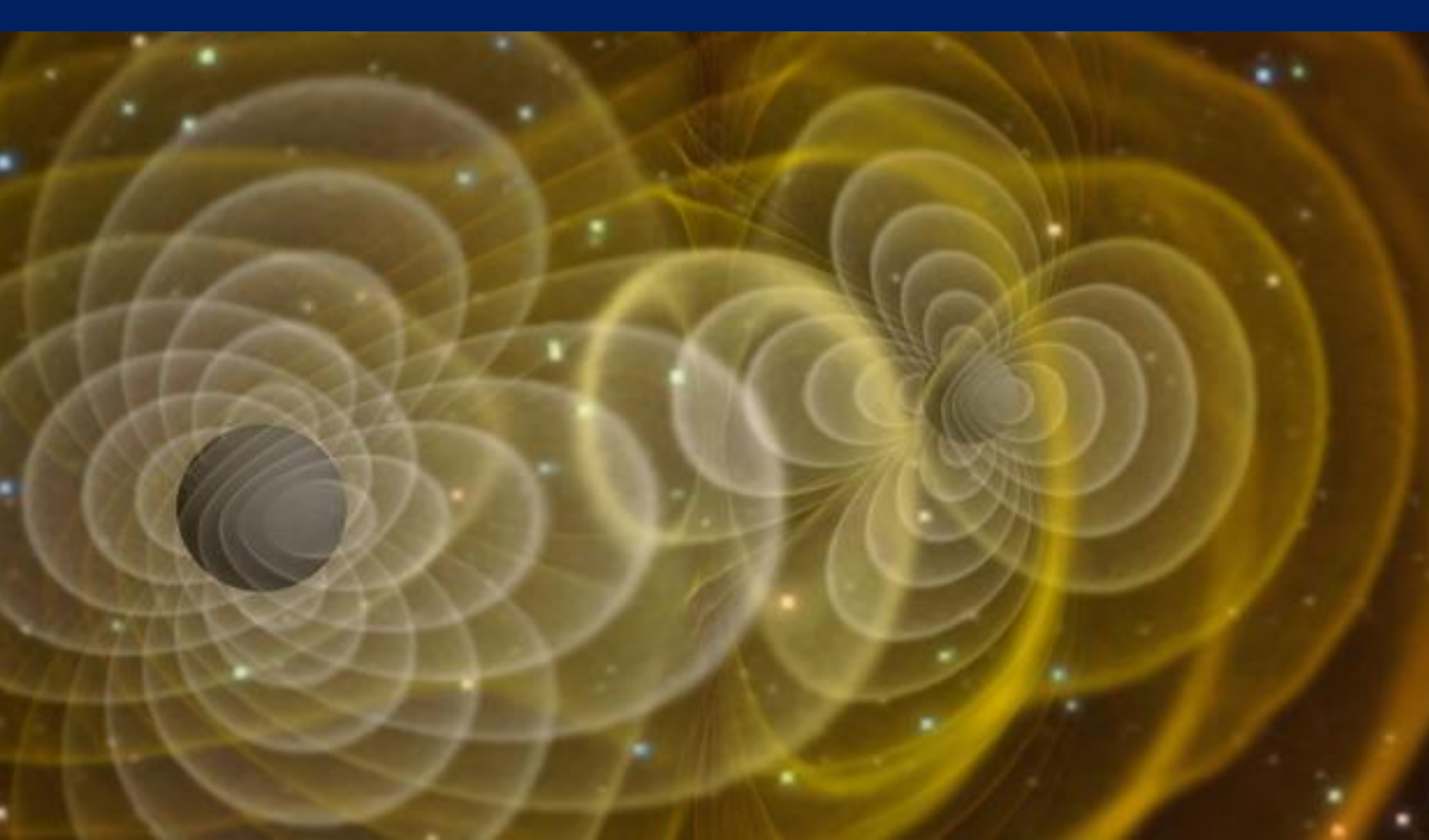
Рb-торможение за счет ГВ

r,s – замедление времени вблизи одной Н3

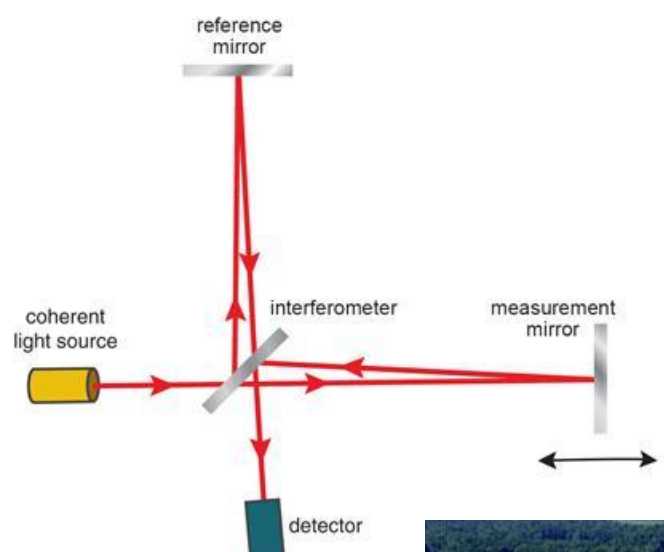


Timing parameter	PSR J0737-3039A	PSR J0737-3039B
Right Ascension α	07h37m51s.24927(3)	_
Declination δ	-30°39′40′′.7195(5)	_
Proper motion in the RA direction (mas yr^{-1})	-3.3(4)	_
Proper motion in Declination (mas yr^{-1})	2.6(5)	_
Parallax, π (mas)	3(2)	_
Spin frequency ν (Hz)	44.054069392744(2)	0.36056035506(1)
Spin frequency derivative $\dot{\nu}$ (s ⁻²)	$-3.4156(1) \times 10^{-15}$	$-0.116(1) \times 10^{-15}$
Timing Epoch (MJD)	53156.0	53156.0
Dispersion measure DM (cm ⁻³ pc)	48.920(5)	_
Orbital period P_b (day)	0.10225156248(5)	_
Eccentricity e	0.0877775(9)	_
Projected semi-major axis $x = (a/c) \sin i$ (s)	1.415032(1)	1.5161(16)
Longitude of periastron ω (deg)	87.0331(8)	87.0331 + 180.0
Epoch of periastron T_0 (MJD)	53155.9074280(2)	_
Advance of periastron $\dot{\omega}$ (deg/yr)	16.89947(68)	[16.96(5)]
Gravitational redshift parameter γ (ms)	0.3856(26)	_
Shapiro delay parameter s	0.99974(-39, +16)	_
Shapiro delay parameter r (μ s)	6.21(33)	_
Orbital period derivative \dot{P}_b	$-1.252(17) \times 10^{-12}$	_
Timing data span (MJD)	52760 – 53736	52760 - 53736
Number of time offsets fitted	10	12
RMS timing residual σ (μ sec)	54	2169
Total proper motion (mas yr^{-1})	4.2(4)	
Distance d(DM) (pc)	~ 500	
Distance $d(\pi)$ (pc)	200 - 1000	
Transverse velocity ($d = 500 \text{ pc}$) (km s ⁻¹)	10(1)	
Orbital inclination angle (deg)	88.69(-76,+50)	
Mass function (M_{\odot})	0.29096571(87)	0.3579(11)
Mass ratio, R	1.0714(11)	
Total system mass (M_{\odot})	2.58708(16)	
Neutron star mass (m_{\odot})	1.3381(7)	1.2489(7)

Источники гравитационных волн – неравномерно движущиеся массивные объекты: чёрные дыры, нейтронные звёзды.



Детектор гравитационных волн — интерферометр Майкельсона

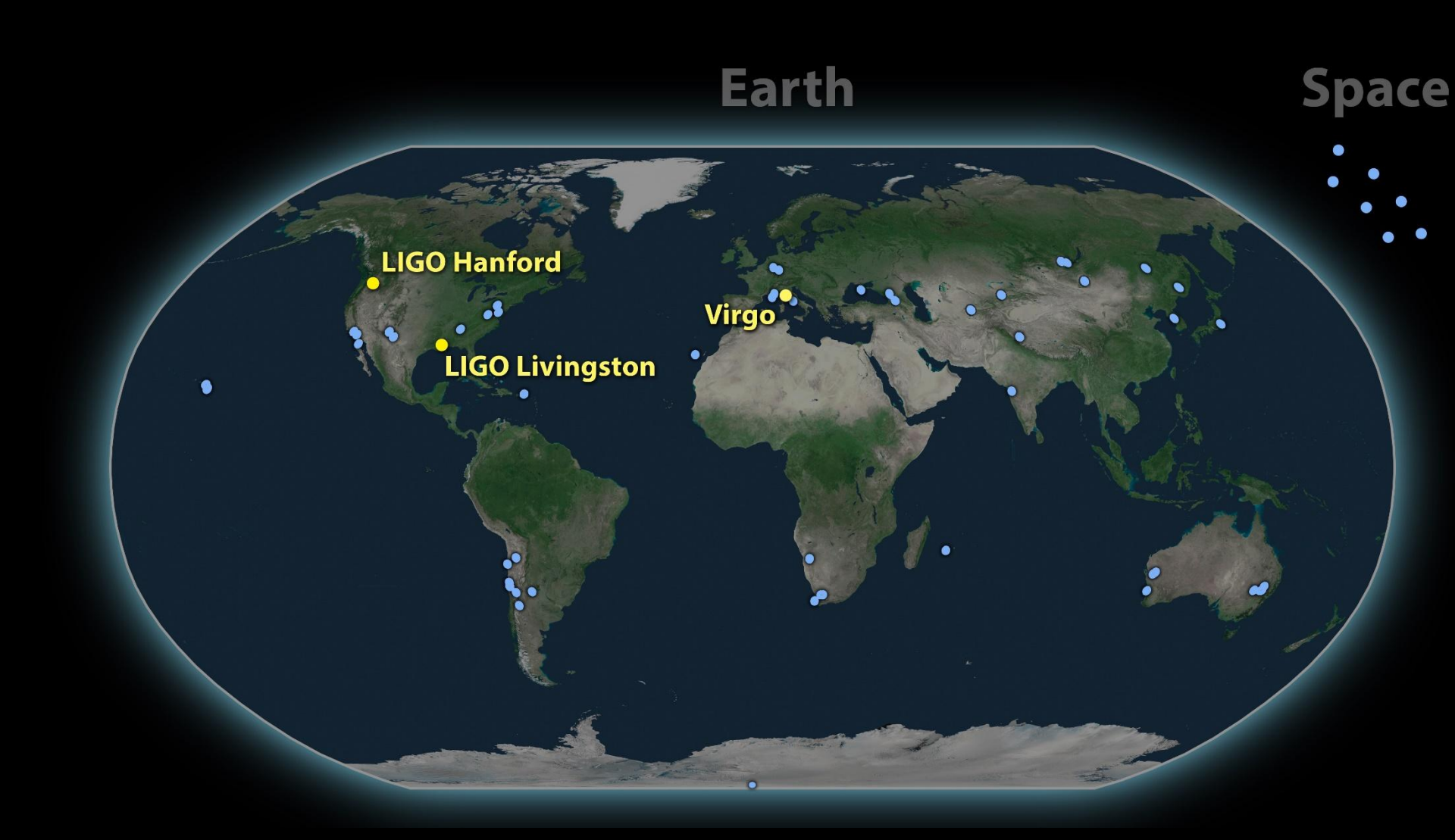


Гравитационная волна должна изменять относительное расстояние между зеркалами интерферометра, изменяя картину, создаваемую лазерным лучом.

Идея - Владислав Пустовойт и Михаил Герценштейн (1962)

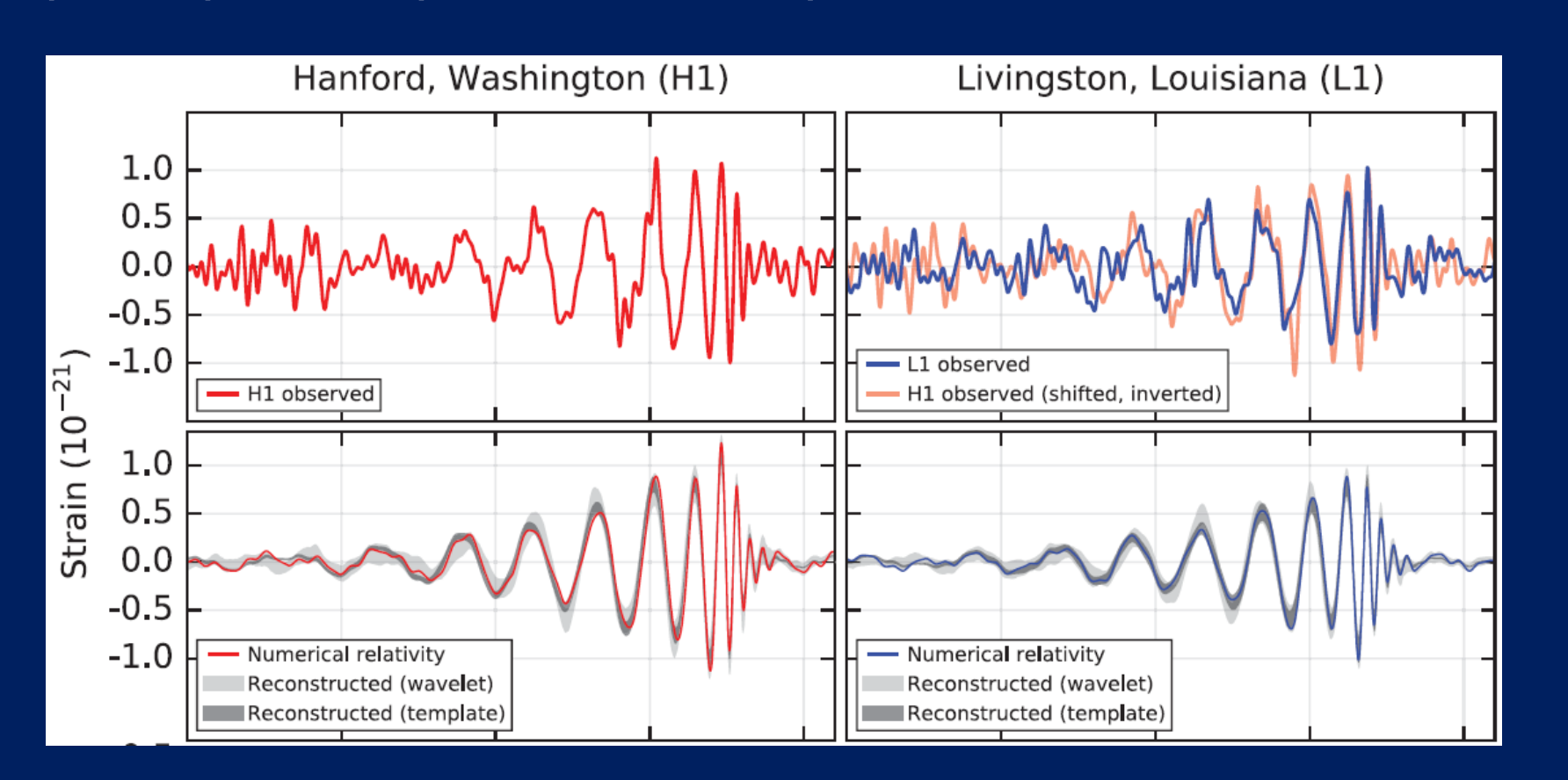


Одна из важных задач — найти источники гравитационных волн и отождествить их с объектами привычного э/м диапазона.

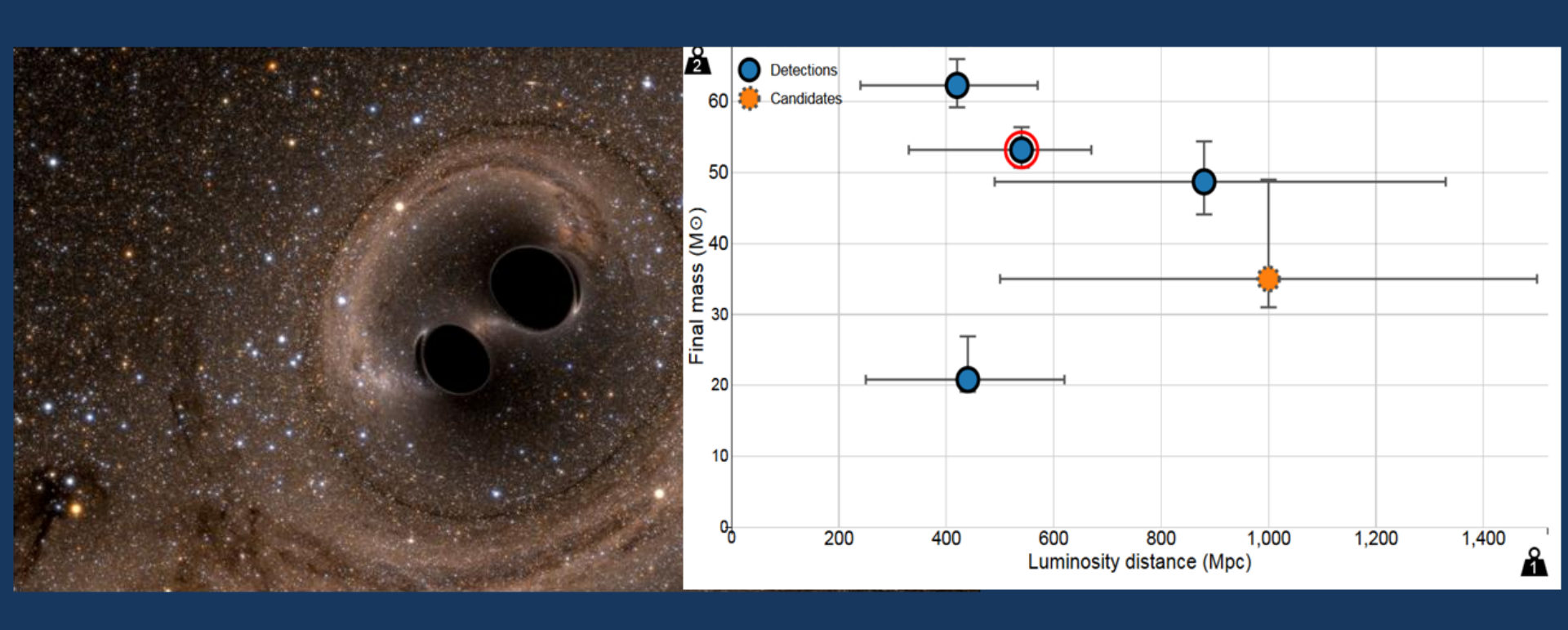


Что же там столкнулось?

Теория эволюции звёзд позволяет рассчитать численно, как будут вести себя различные системы при различных наборах параметров. Наибольшее сходство модели с наблюдениями помогает выбрать тот или иной набор параметров с определённой вероятностью.



Гравитационно-волновые события и поиск электромагнитного излучения



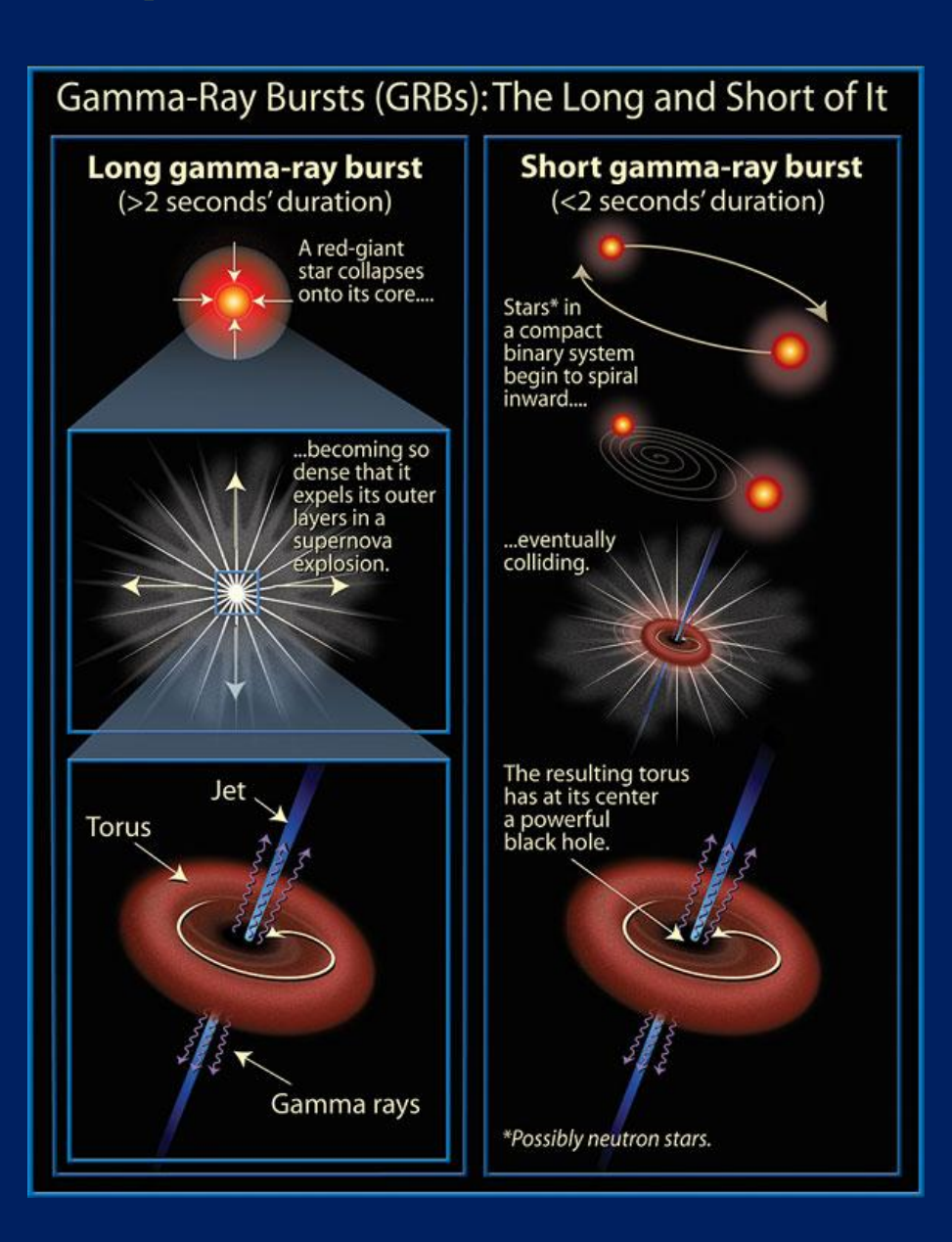
GW150914, GW151226, GW170104, GW170814, LVT151012 Слияния черных дыр, в гамма-лучах только верхние пределы

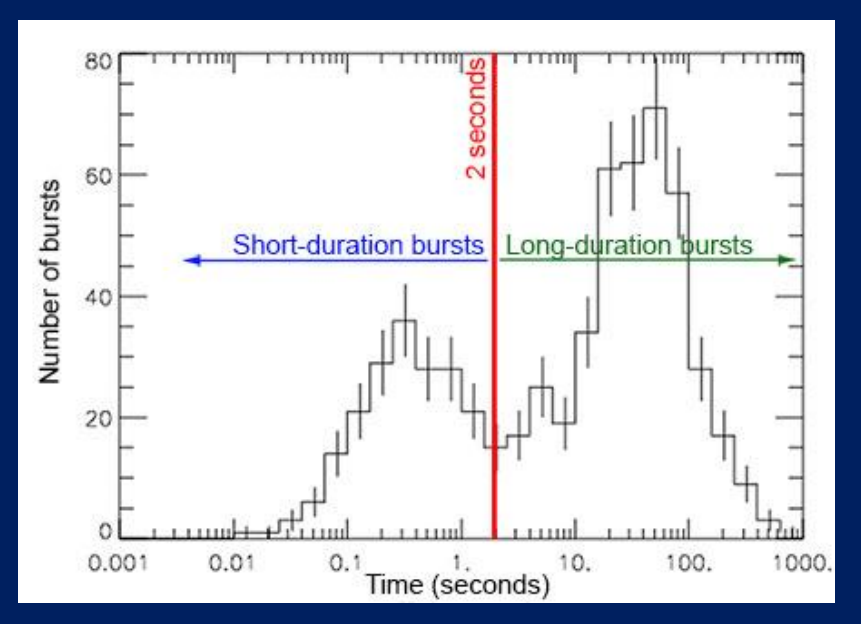
Сверхмощные взрывы -гамма всплески

Открытие - побочный эффект договора об Ограничении ядерных вооружений — открытие гамма всплесков (1969 г). Загадка астрофизики высоких энергий XX века



Короткие и длинные гамма-всплески

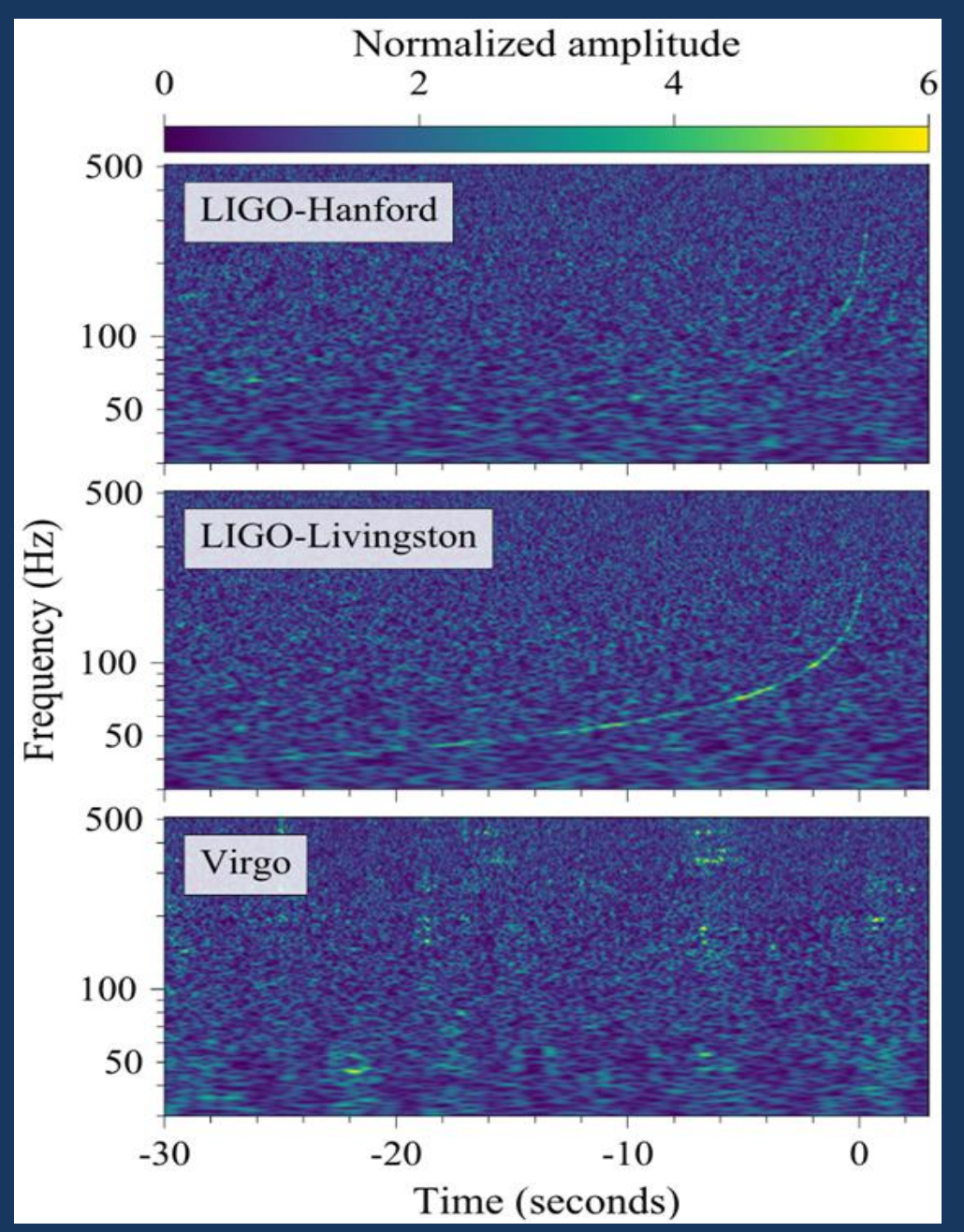




При слиянии двух компактных объектов должен наблюдаться короткий гамма-всплеск.

При слиянии двух компактных объектов должны наблюдаться гравитационные волны.

Спектрограммы GW170817 в детекторах LIGO и Virgo

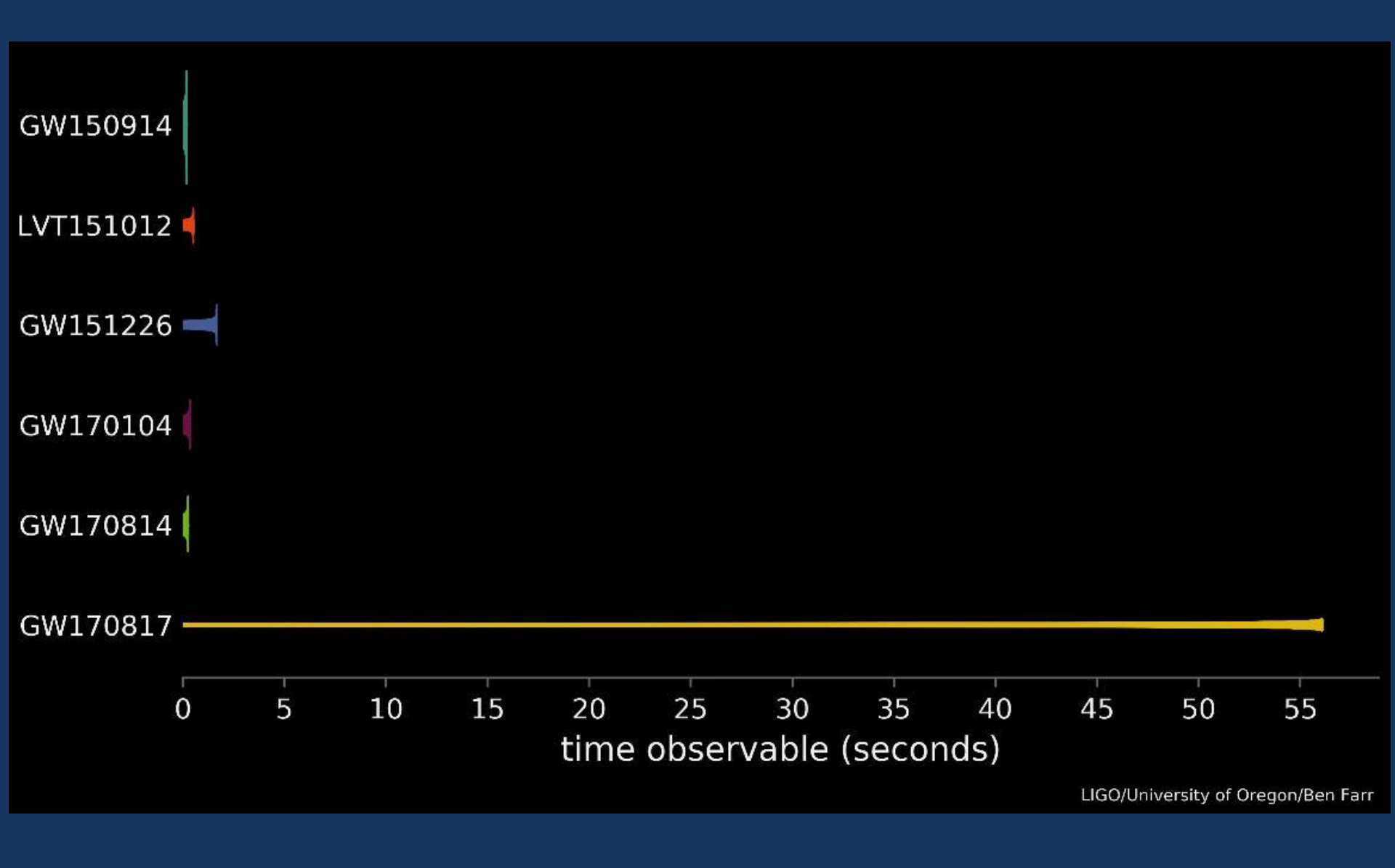


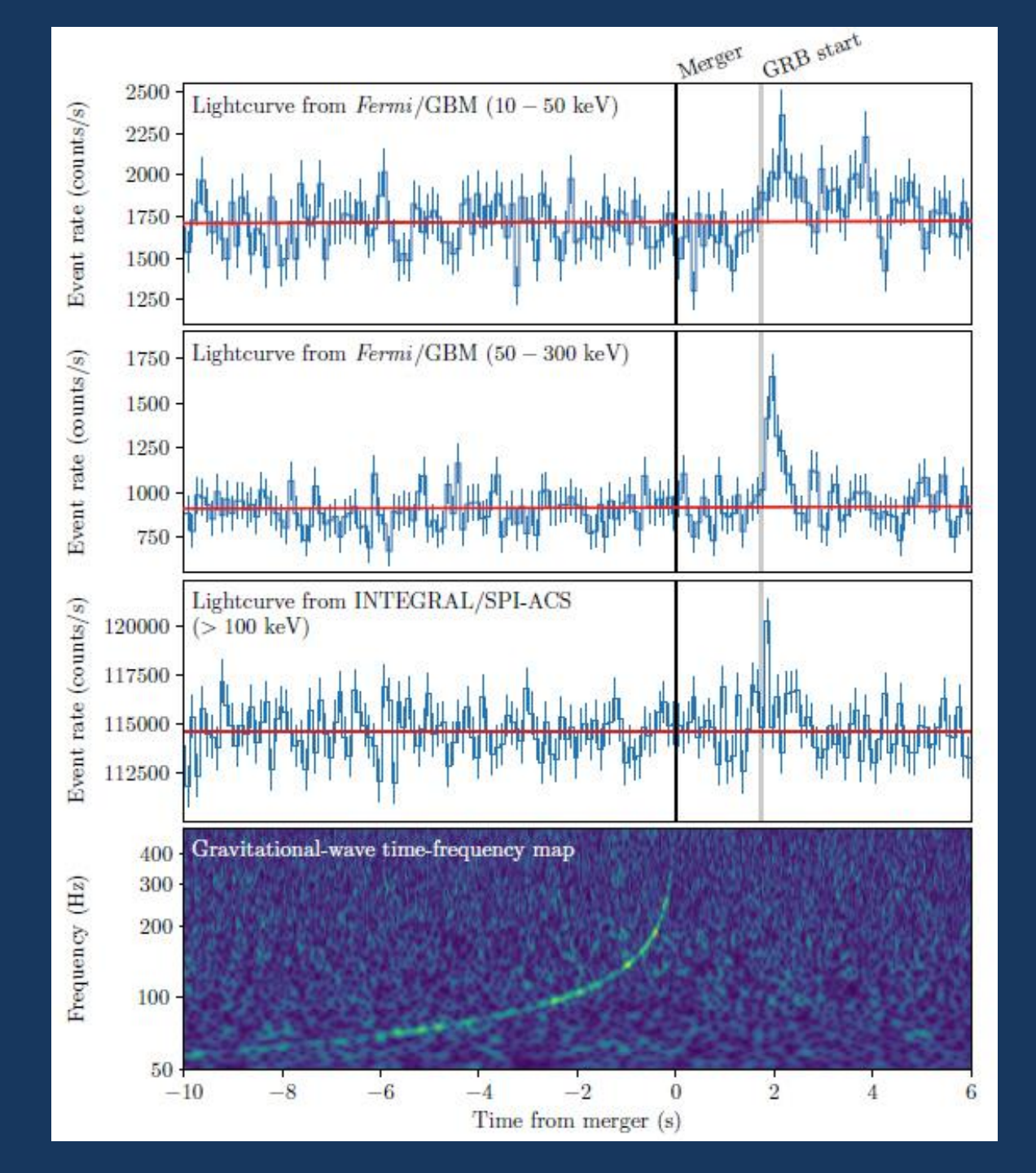
17 августа 2017 12:41:04 UTC

3 мс

22 мс

ГВ-сигналы от слияний ЧД и НЗ





GW170817

Abbot et al. 2017 (LIGO/Virgo)

Goldstein et al. 2017 (Fermi/GBM)

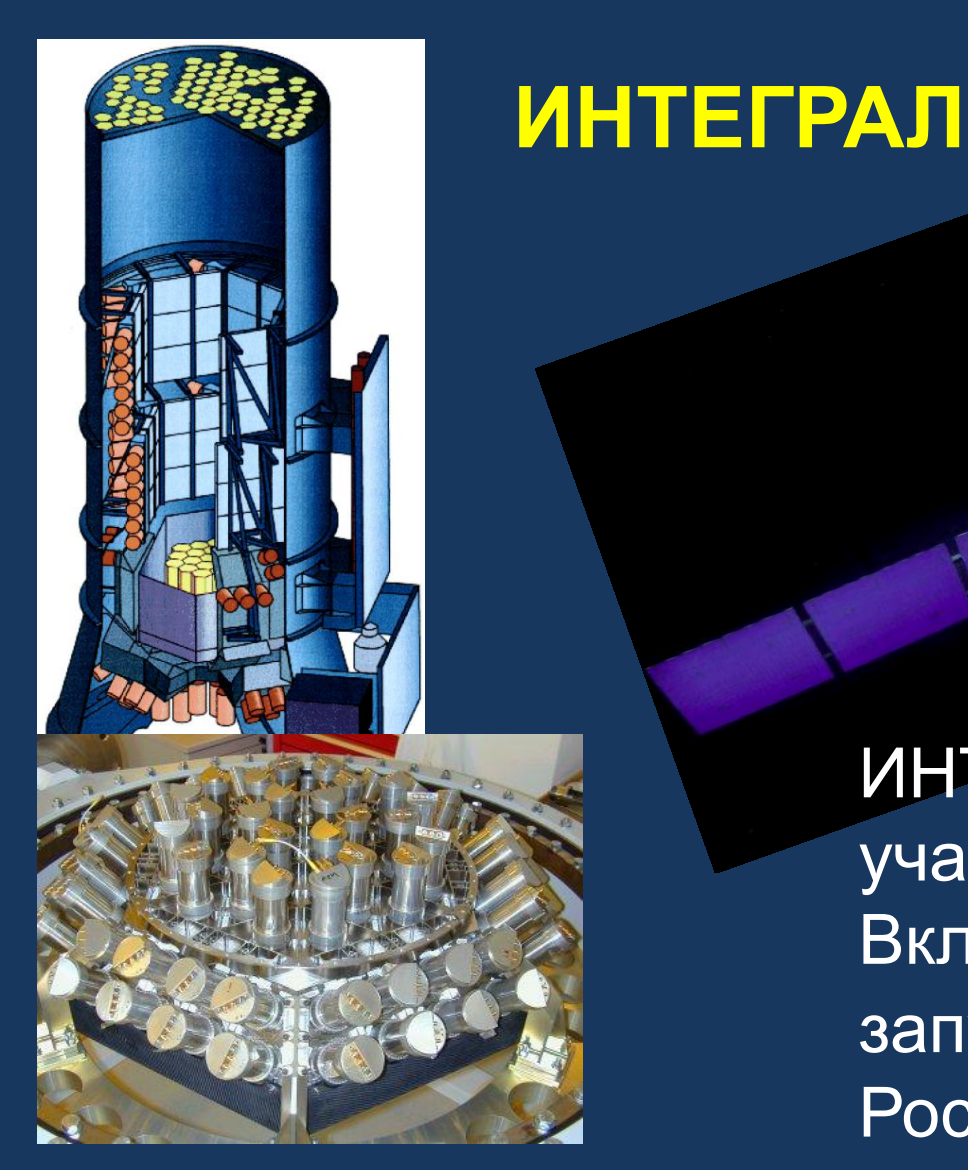
Savchenko et al. 2017a (ИНТЕГРАЛ)

LVC+Fermi+ИНТЕГРАЛ (ApJL 848, L13, 2017)

Fermi/GBM



12 (NaI) детекторов Покрывают все небо Диапазон 8-1000 кэВ



Защита – 91 (BGO) кристаллов, вес 512 кг Диапазон 75-2000 кэВ ИНТЕГРАЛ – проект ЕКА с участием России и НАСА. Вклад России – ПРОТОН+ДМ, запуск **17 октября 2002** Российские ученые получили право на 25% данных Национальная Обсерватория, Центр Данных в ИКИ РАН

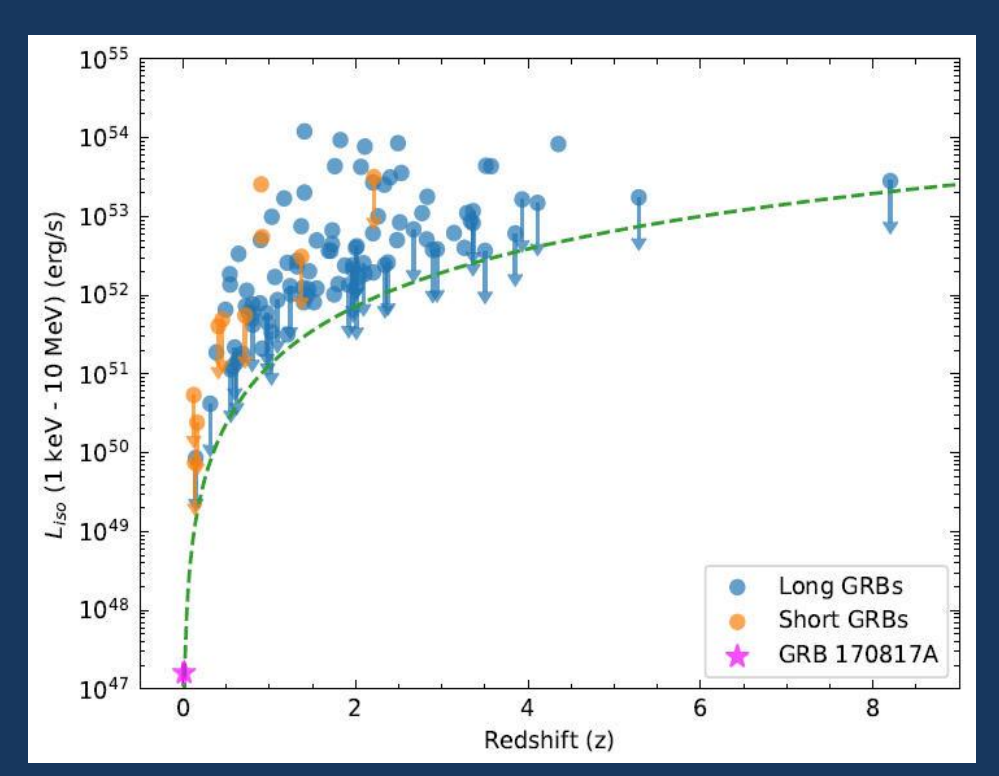
Свойства GW170817 в гамма-лучах

Малая длительность (~2 сек), короткий жесткий первый импульс – признаки подкласса коротких гамма-всплесков (sGRB)

Запаздывание между ГВ и гамма-излучением ~1.7 сек

Модели, объяснения sGRB – слияние H3, H3+ЧД

Ho: самый близкий GRB -> низкая светимость

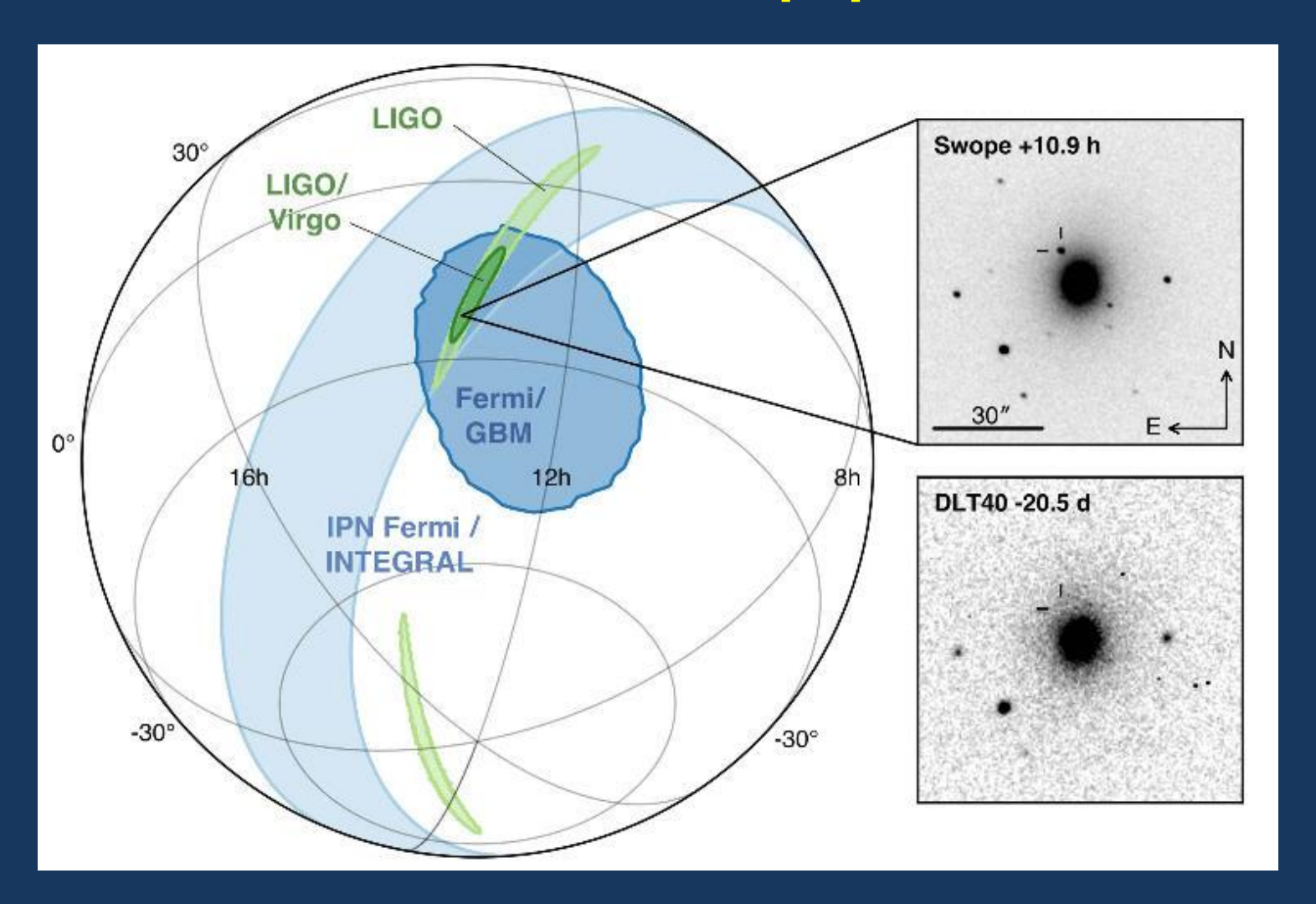


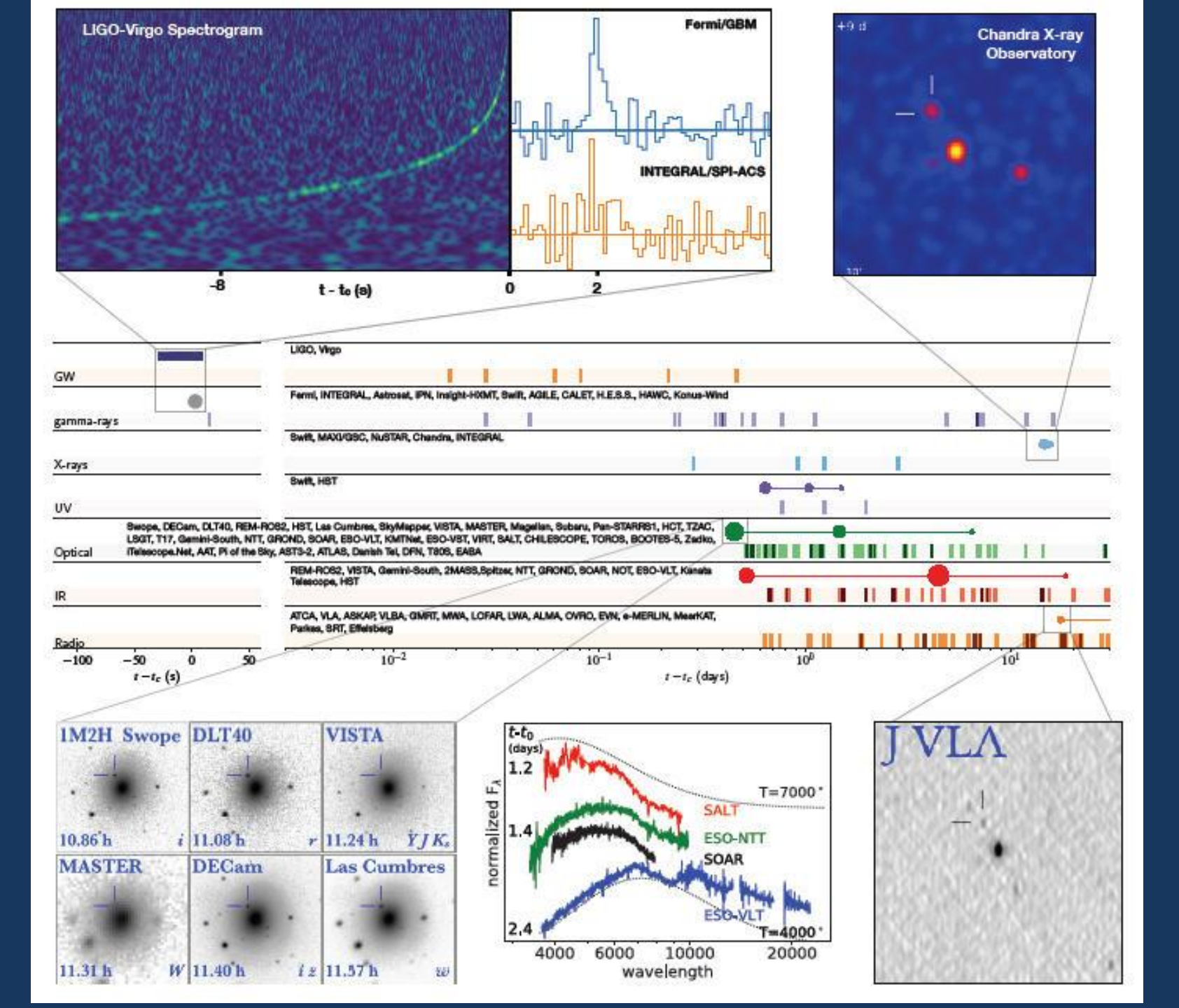
Объяснение:

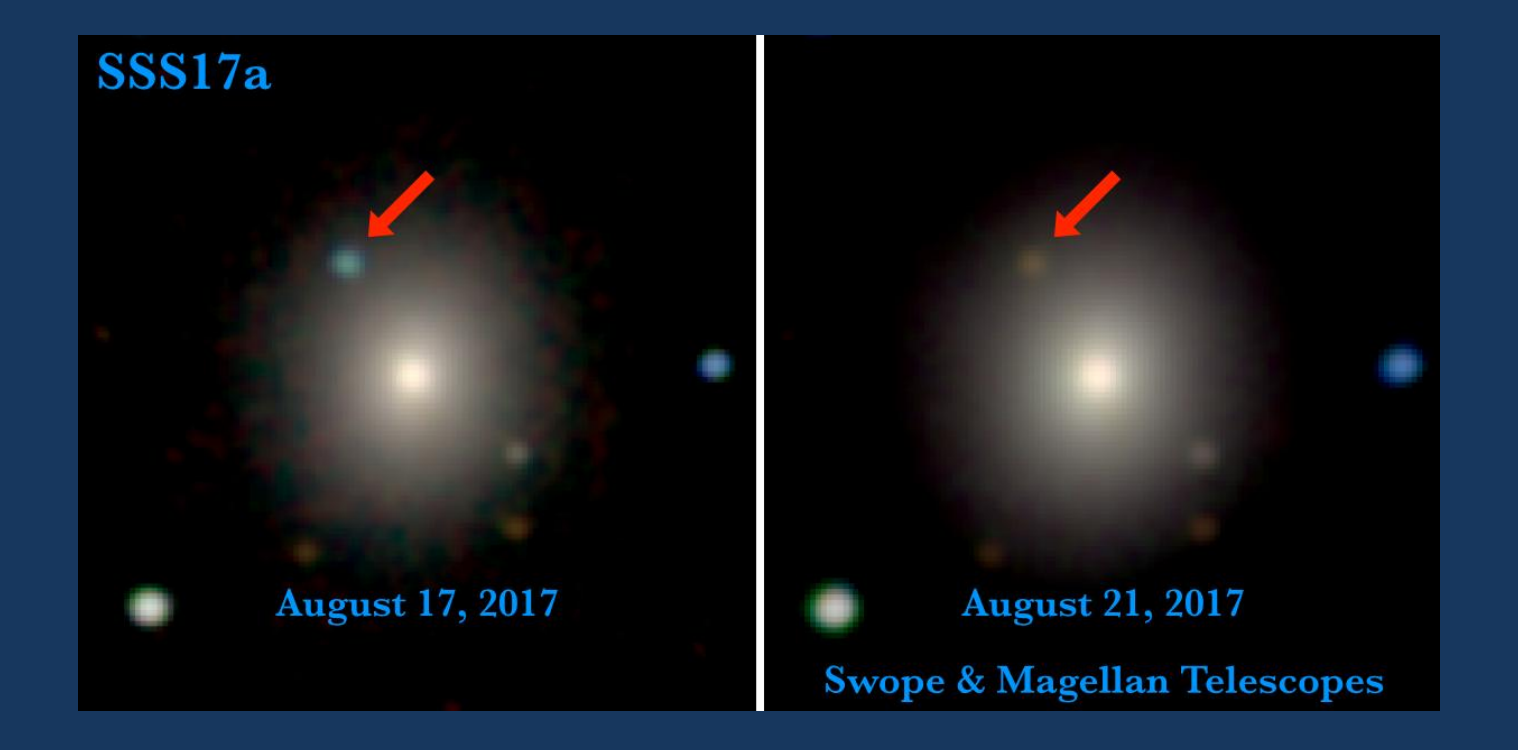
Релятивистская струя (джет) отвернута от нас (20-60 град) или имеет сложную структуру

LVC+Fermi+ИНТЕГРАЛ (ApJL 848, L13, 2017)

Локализация источника GW170817 на небесной сфере





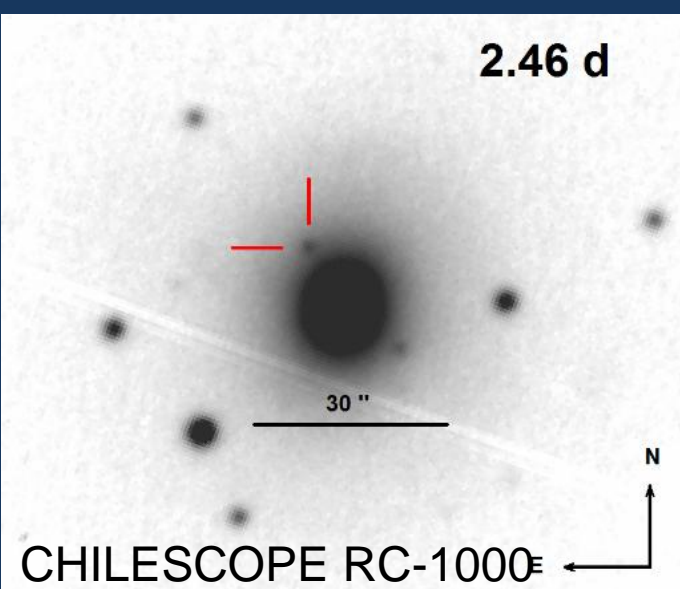


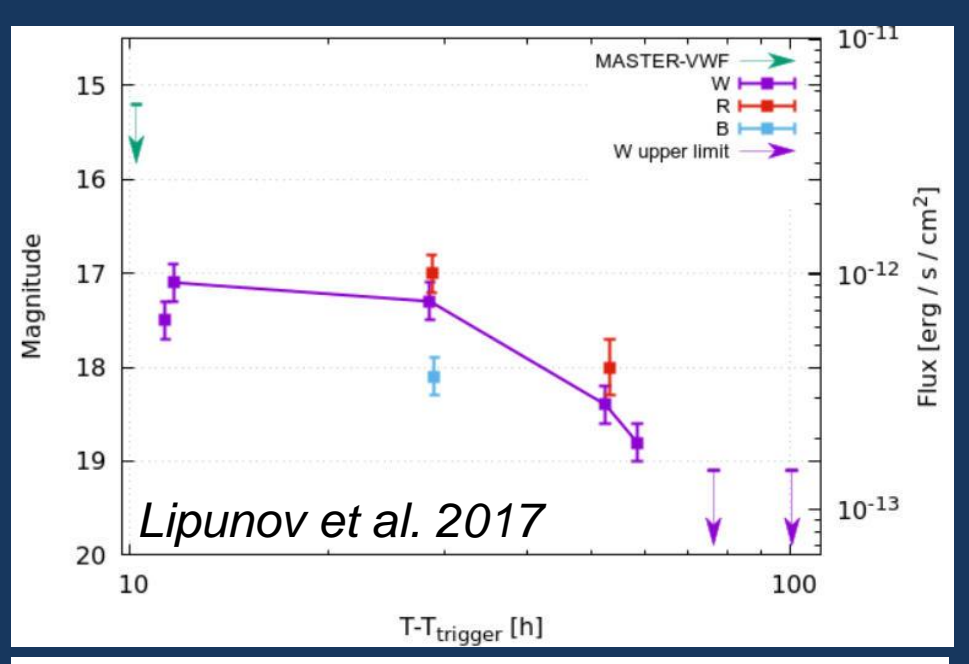
Оптика – 10.87 ч (Swope)
IR – 11.24 ч (VISTA)
UV – 15.3 ч (Swift/UVOT)
Быстрое падение интенсивности и «покраснение»
Спектр без особенностей, быстрая эволюция (не молодая SN)
X-ray – 9 день
Радио – 16 дней

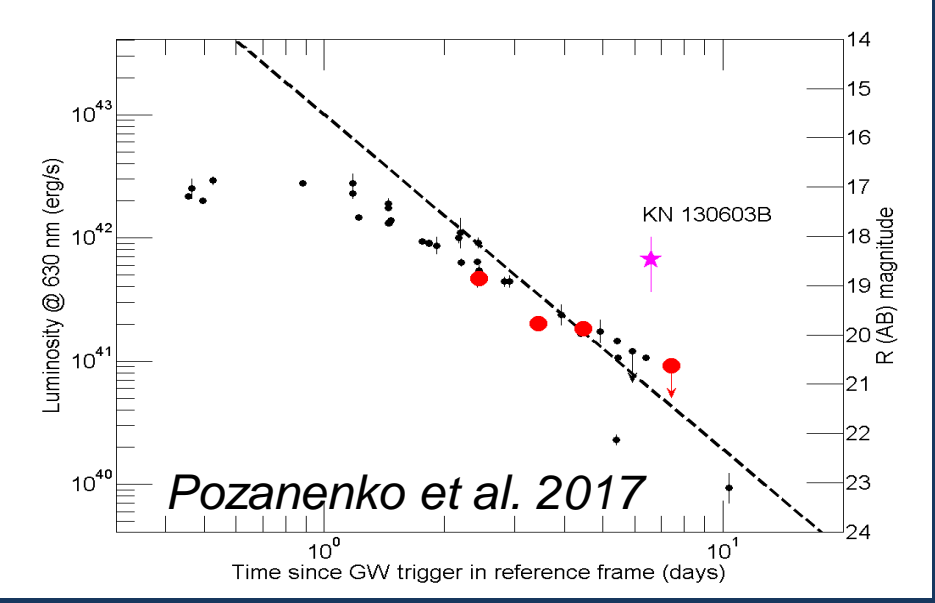
Совпадает с теоретическими предсказаниями для килоновой

Оптика: фотометрия

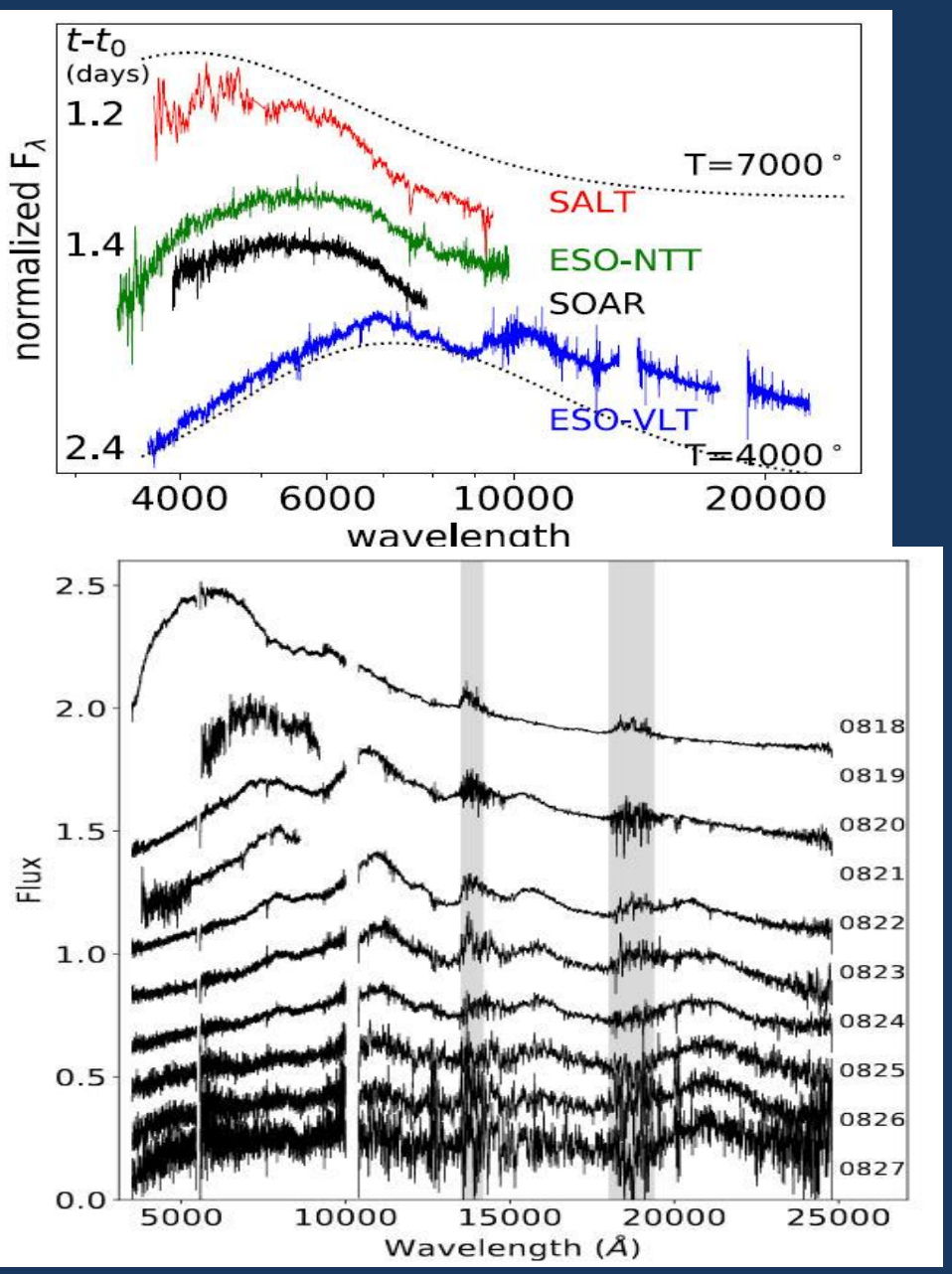


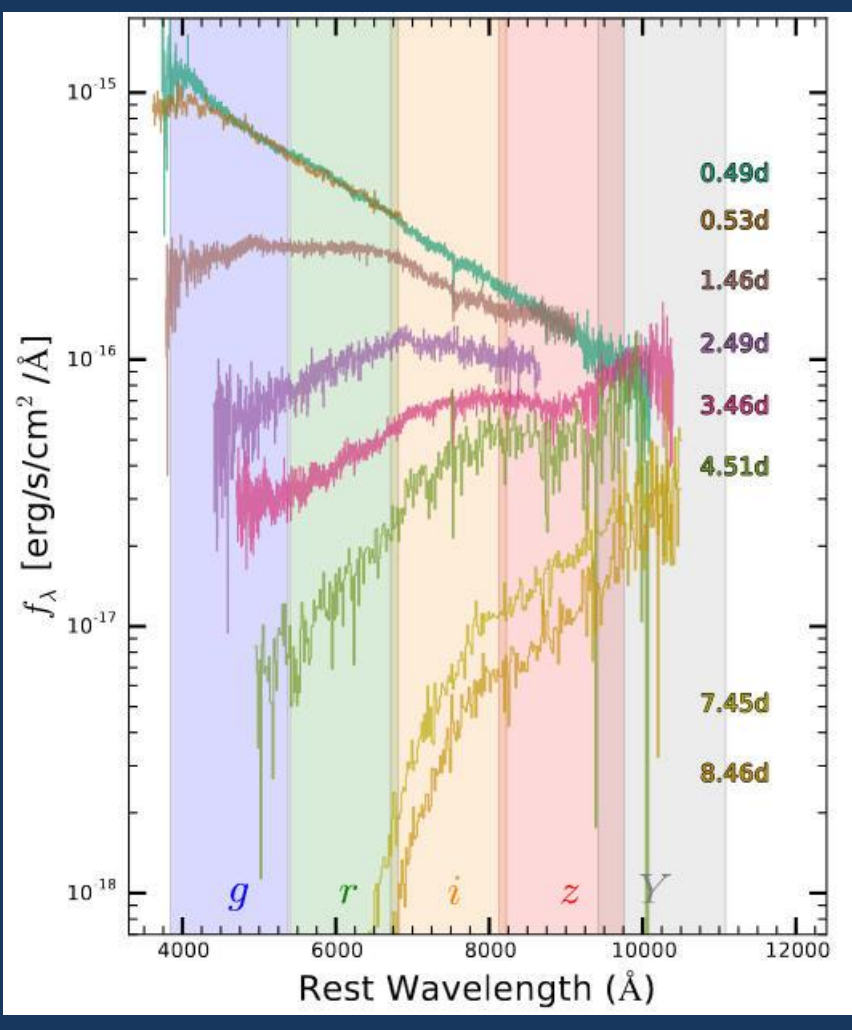






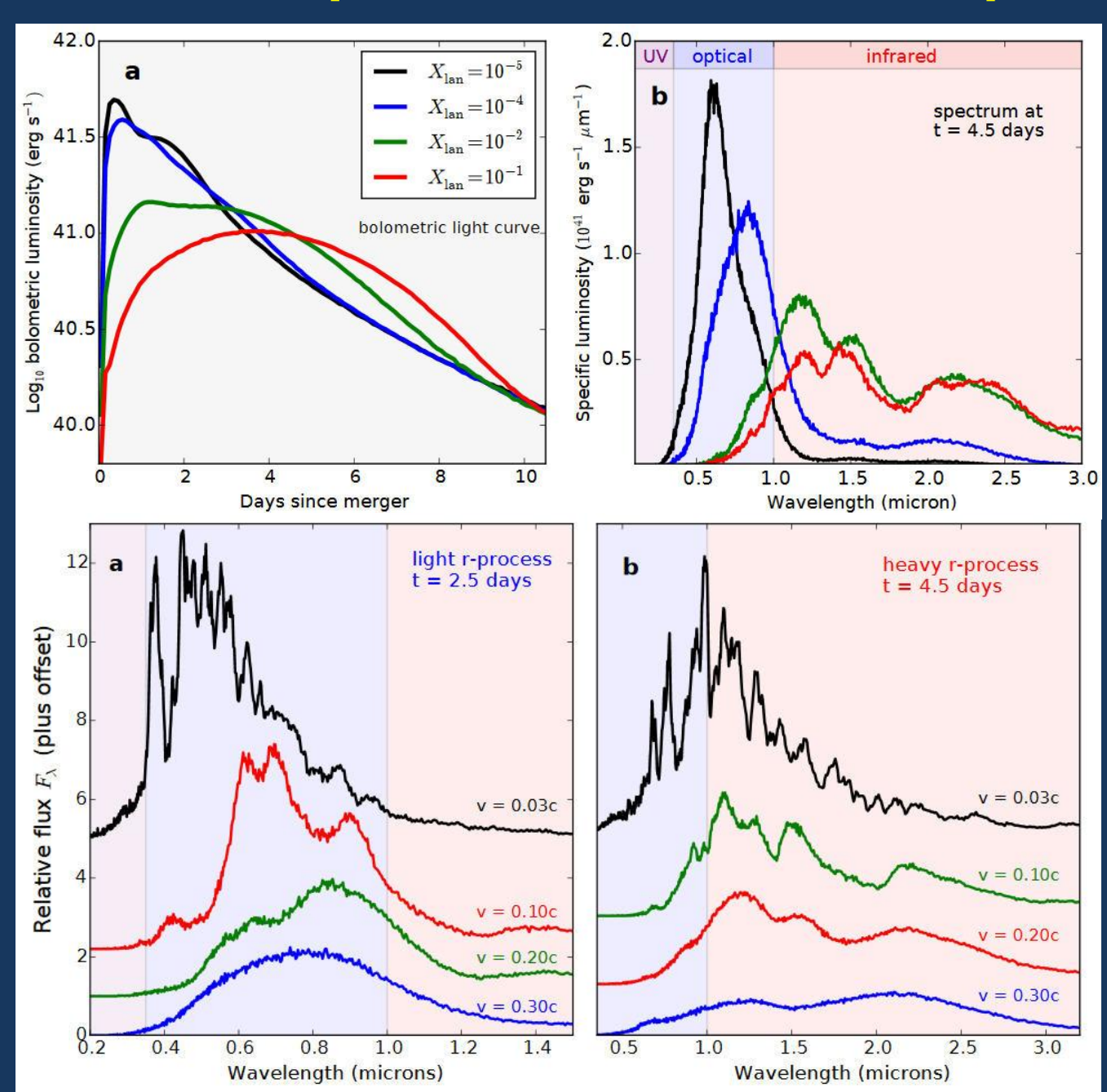
Оптика: спектроскопия



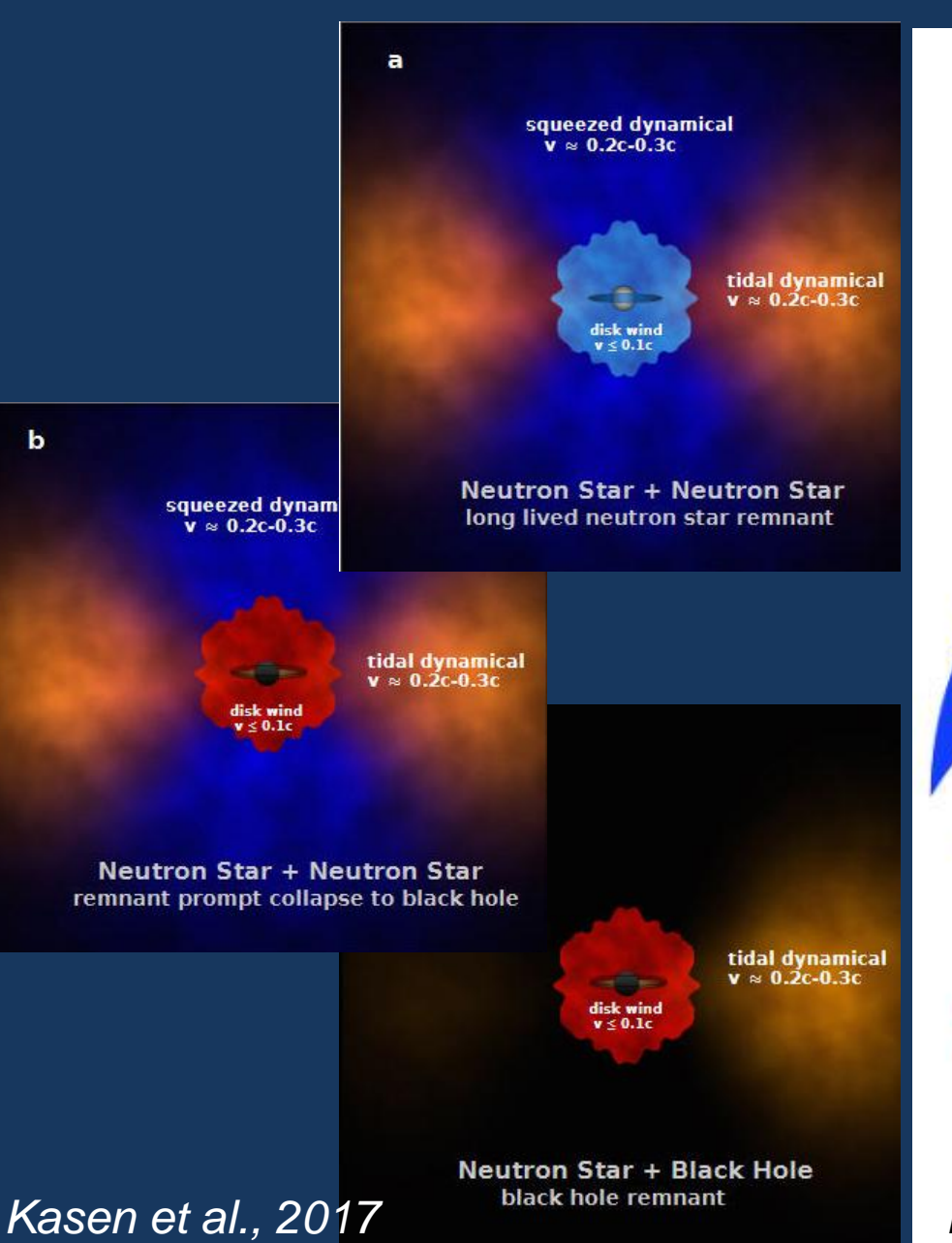


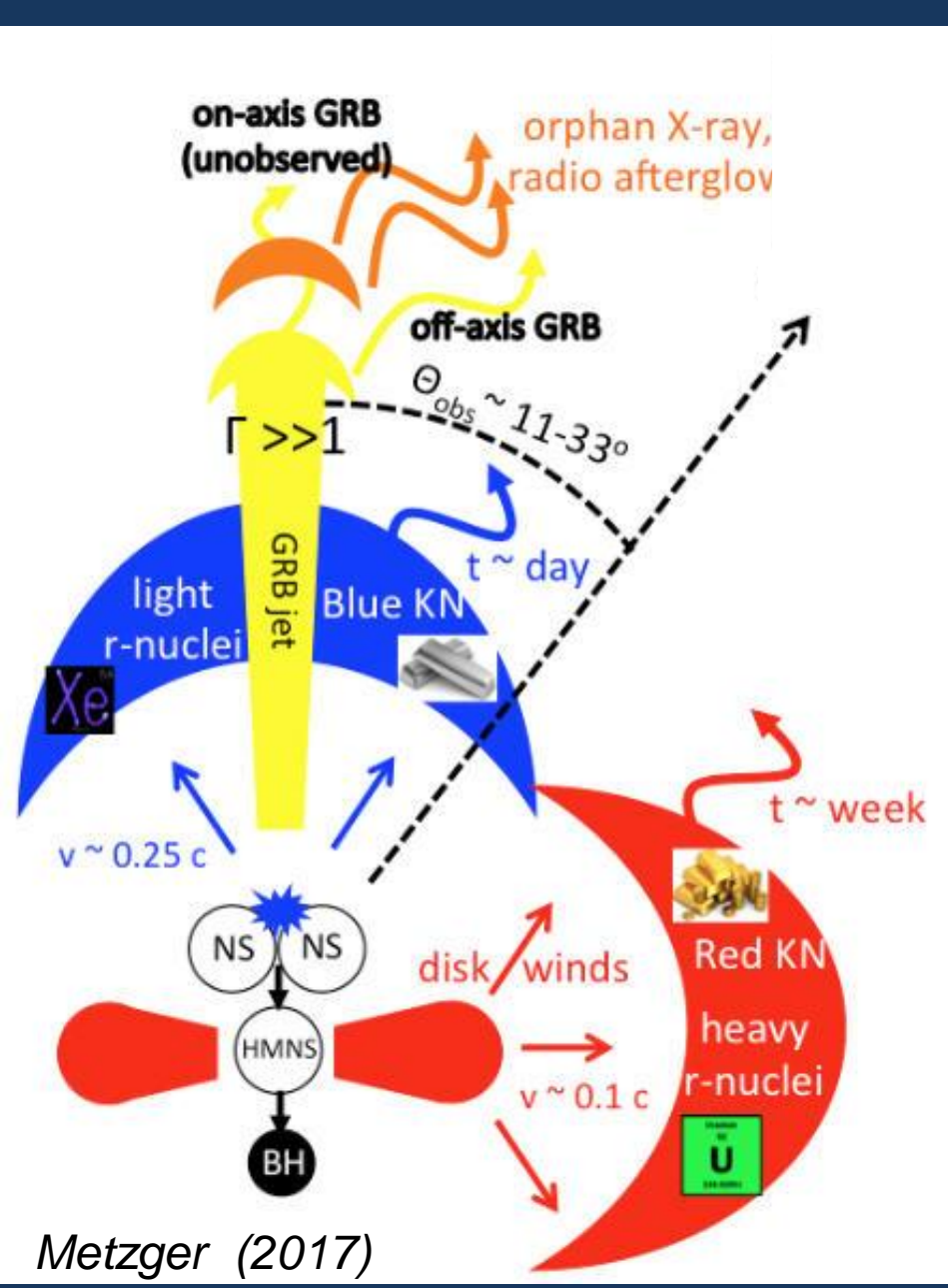
Shappee et al. 2017 Pian et al. 2017

Модели кривых блеска и спектров килоновой

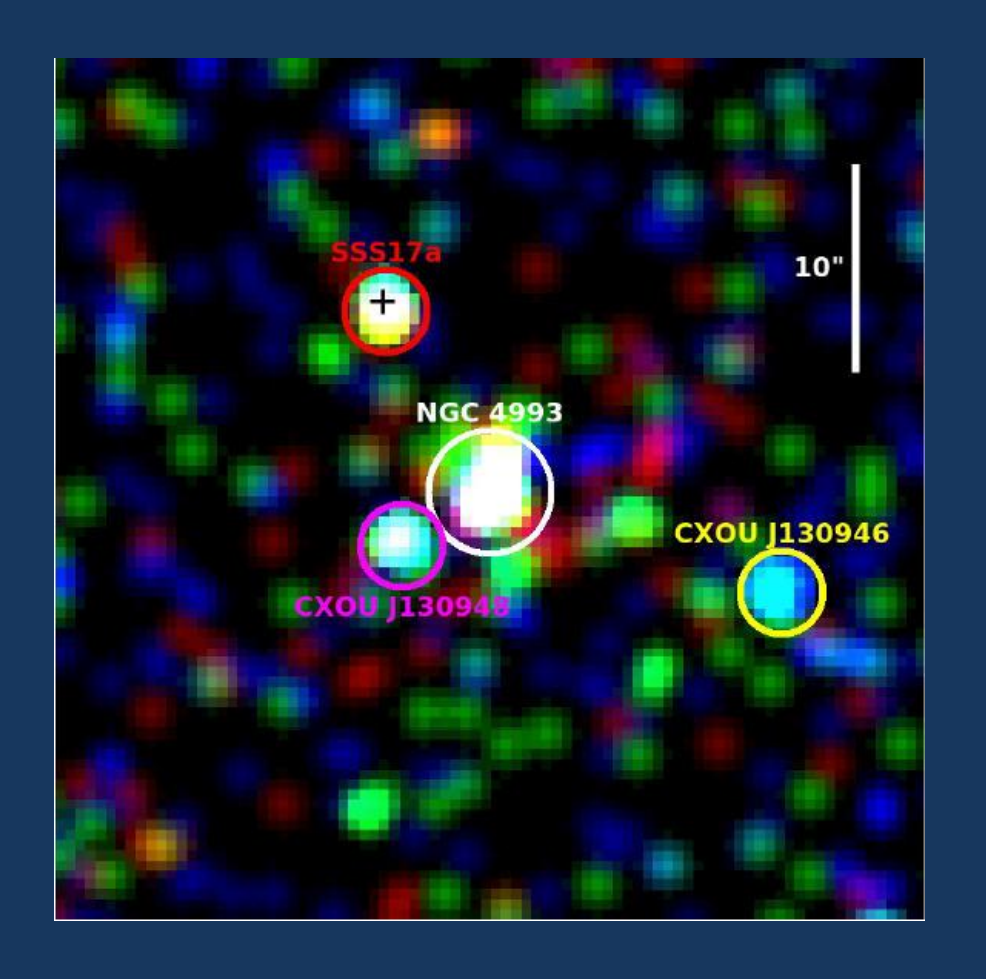


Компоненты выброса вещества: Н3-Н3 и Н3-ЧД

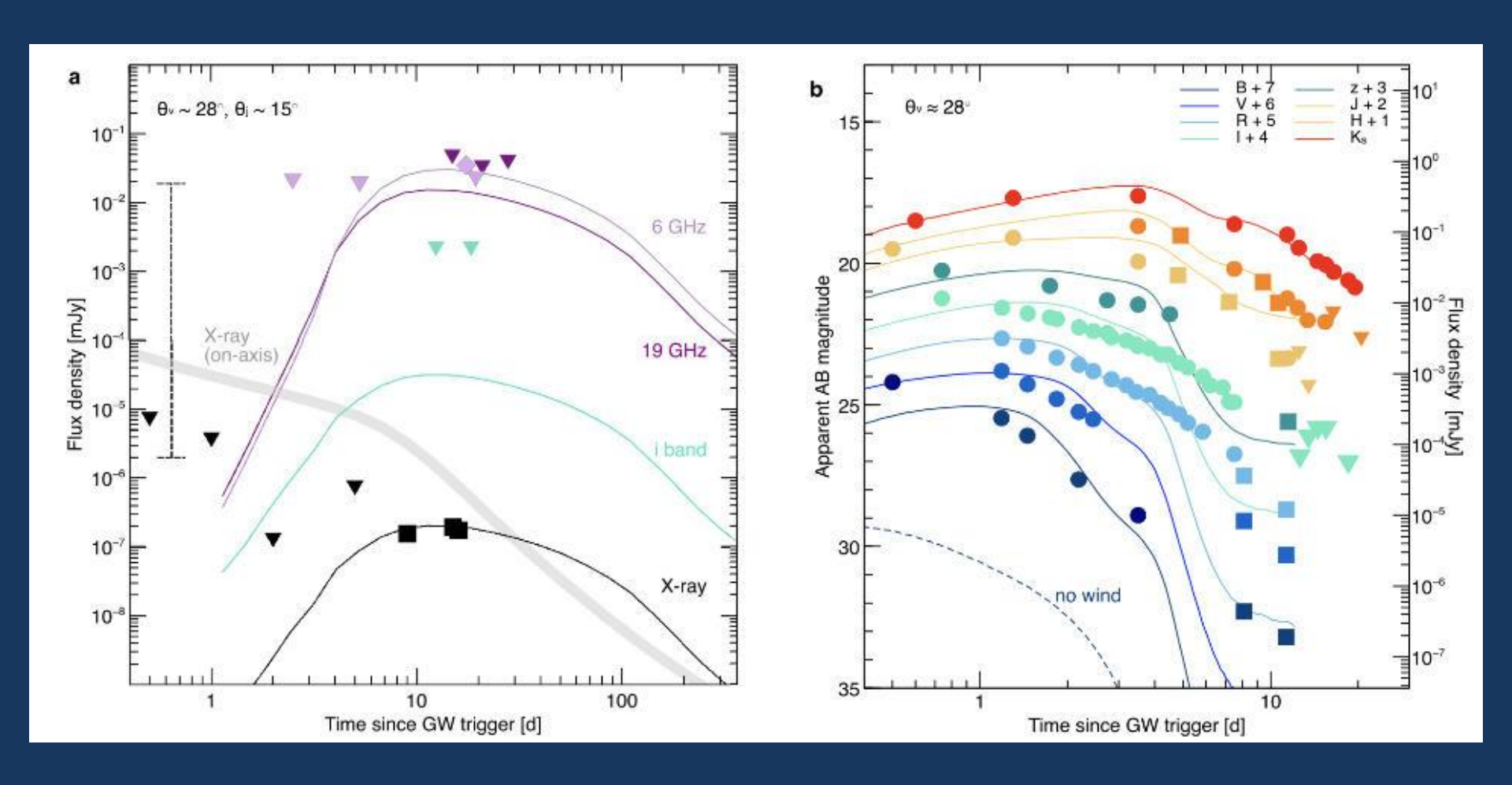




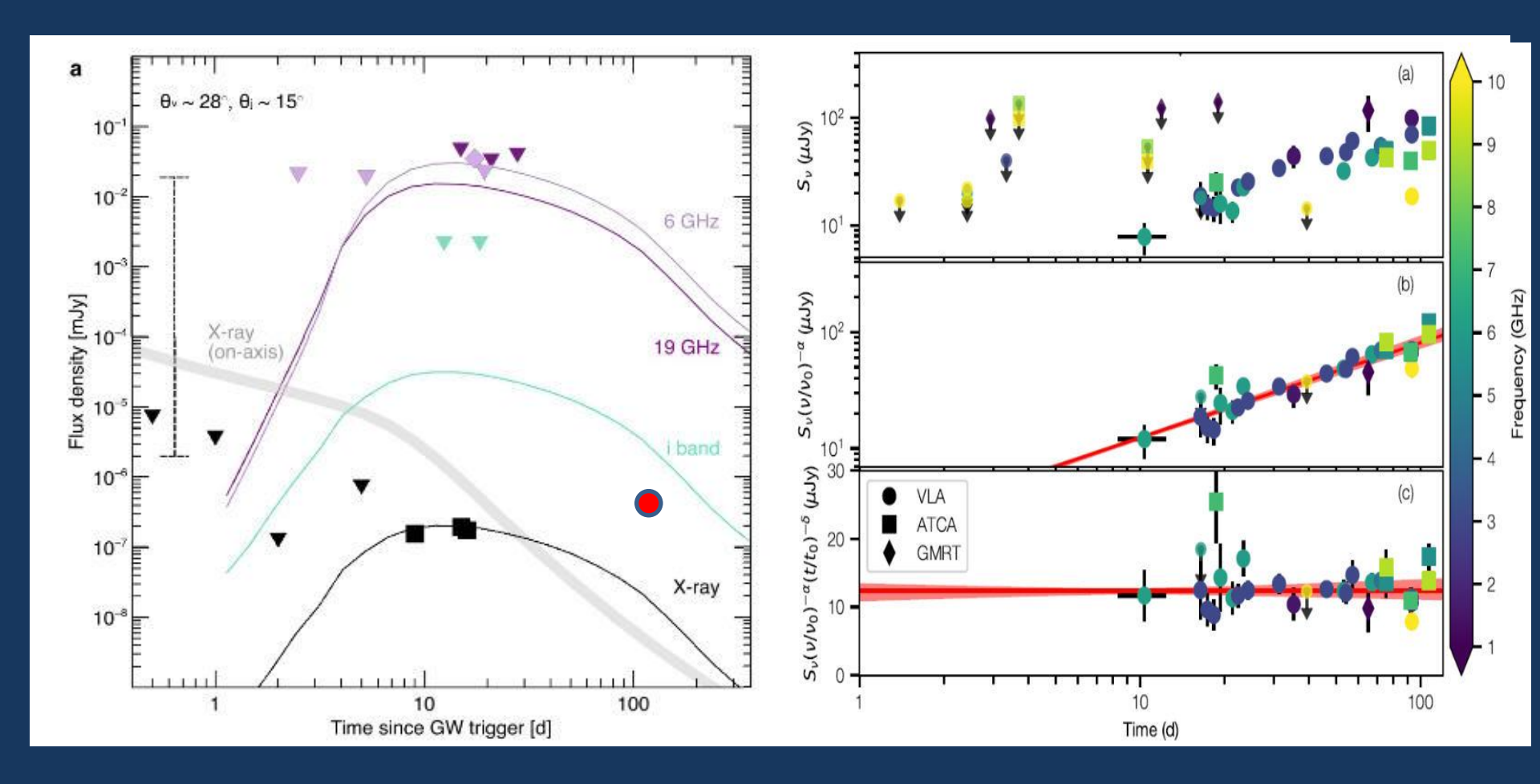
Регистрация рентгеновского излучения

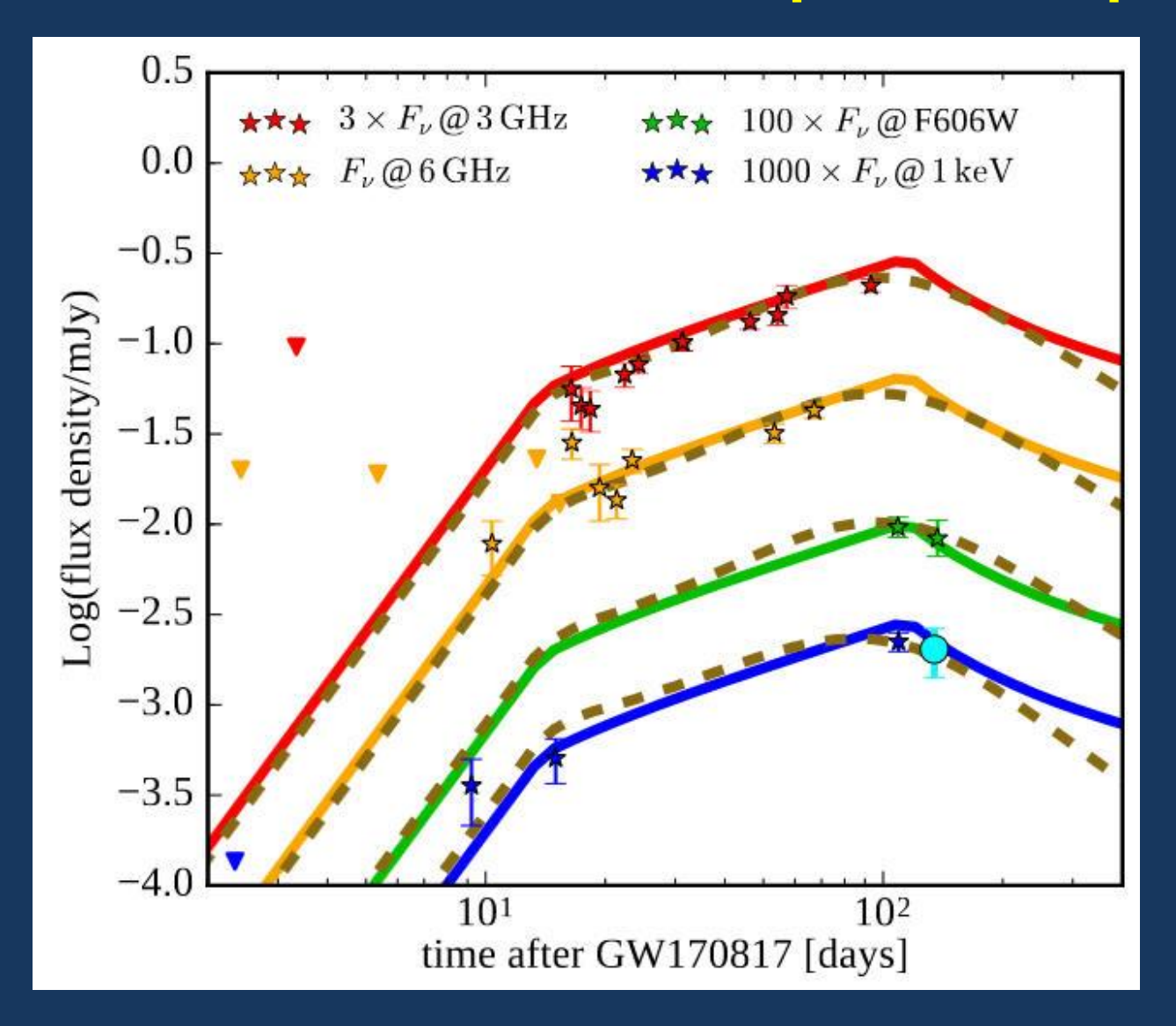


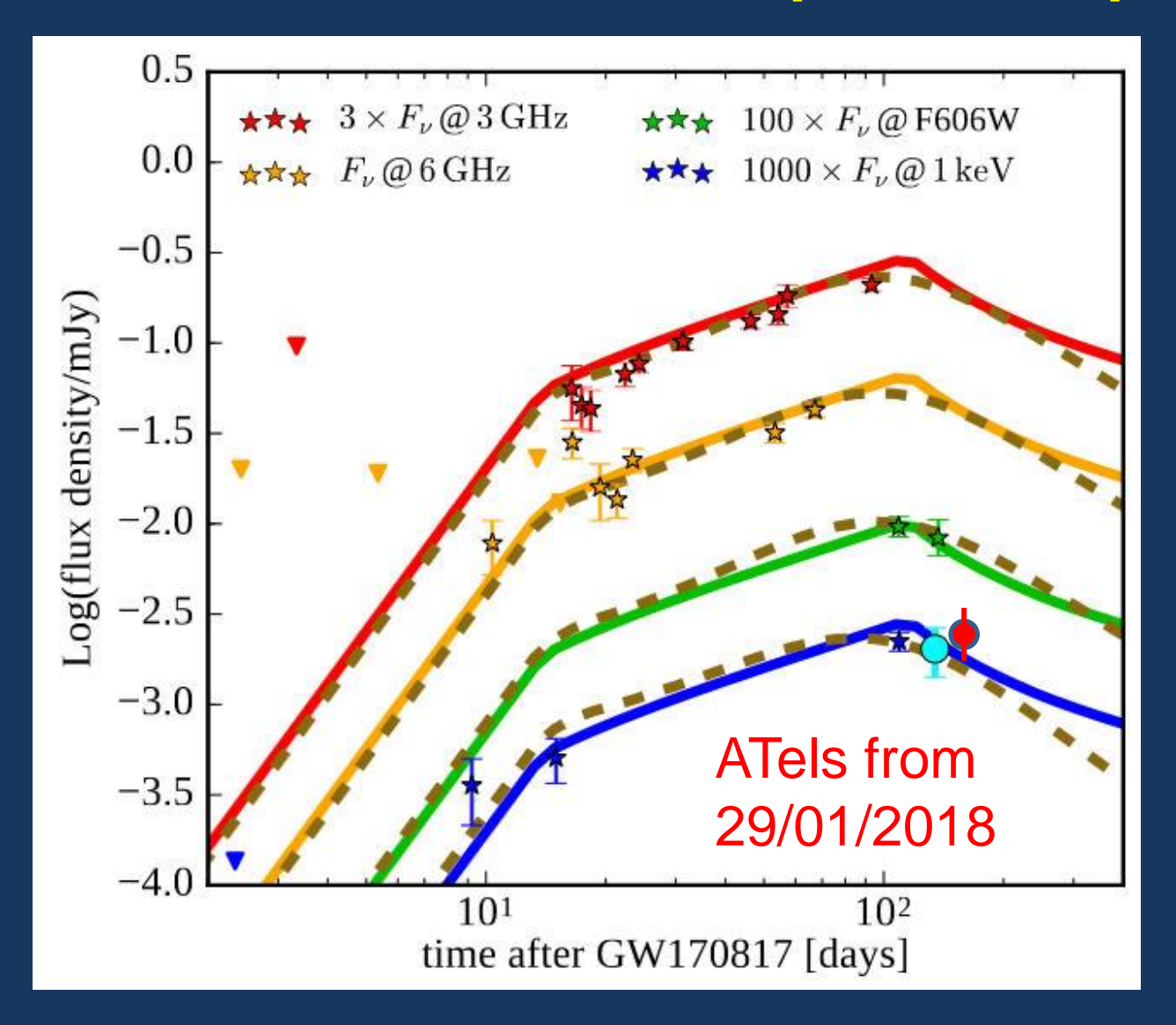
Chandra: 2 дня – нет рентгена, 9 дней – первая регистрация, 15-16 дни – источник интенсивность не меняет, согласуется с моделями послесвечения sGRB, джет не на луче зрения



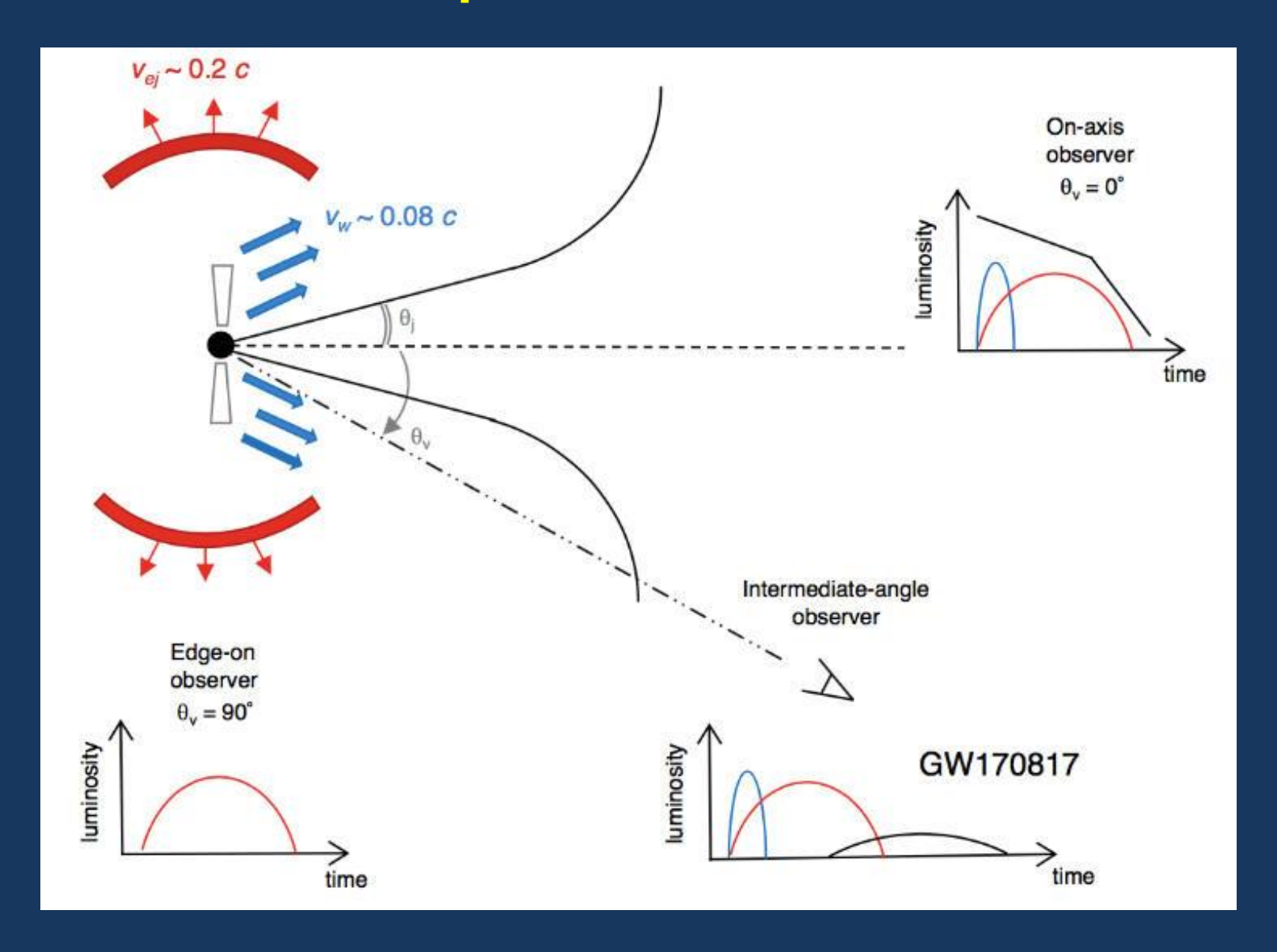
Низкая светимость – джет отвернут от нас на ~28°





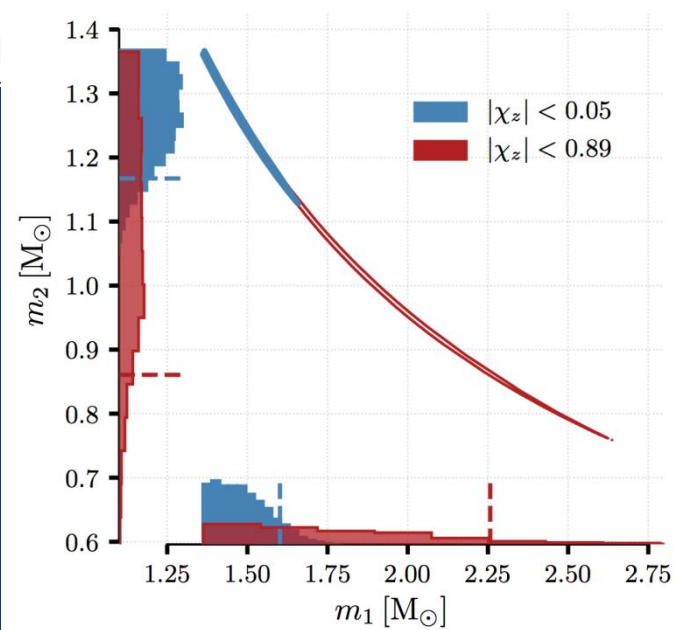


Наблюдательные проявления событий слияния Н3



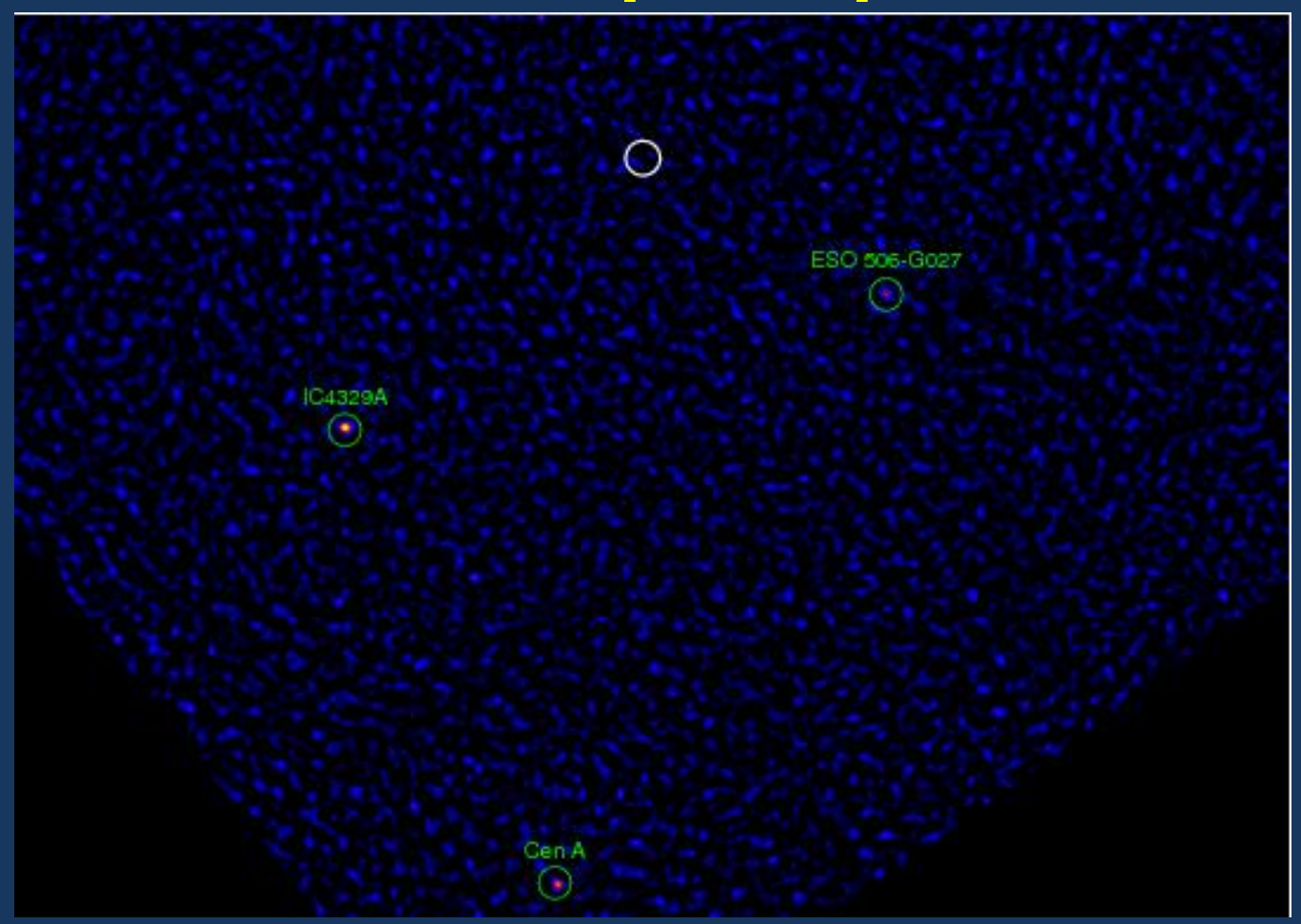
Результаты

Table 1: K	ey Properties of GW170817	
Property	Value	
Chirp mass, M (rest frame)	$1.188^{+0.004}_{-0.002}M_{\odot}$	
First NS mass, M_1	$1.36 - 1.60 M_{\odot}$ (90%, low spin prior	
Second NS mass, M_2	$1.17 - 1.36 M_{\odot}$ (90%, low spin prior	
Total binary mass, $M_{\text{tot}} = M_1 + M_2$	$pprox 2.74^{0.04}_{-0.01} M_{\odot}$	
Observer angle relative to binary axis, $\theta_{\rm obs}$	$11 - 33^{\circ} (68.3\%)$	
Blue KN ejecta $(A_{\text{max}} \lesssim 140)$	$pprox 0.01 - 0.02 M_{\odot}$	
Red KN ejecta $(A_{\text{max}} \gtrsim 140)$	$pprox 0.04 M_{\odot}$	
Light r-process yield $(A \lesssim 140)$	$pprox 0.05-0.06 M_{\odot}$	
Heavy r-process yield $(A \gtrsim 140)$	$pprox 0.01 M_{\odot}$	
Gold yield	$\sim 100-200 M_{\oplus}$	
Uranium yield	$\sim 30-60 M_{\oplus}$	
Kinetic energy of off-axis GRB jet	$10^{49} - 10^{50} \text{ erg}$	
ISM density	$10^{-4} - 10^{-2} \text{ cm}^{-3}$	



Metzger arXiv:1710.05931 Abbott et al. 2017

Наблюдения обсерватории ИНТЕГРАЛ



Время: 24 часа – 4.7 дня после GW Нет продолжающейся активности в гамма-лучах -> ограничение на сценарий: нет магнетара в остатке (?)

Savchenko et al. (2017a)

Результаты

- Возможность проверки ОТО:
 - 1) скорость гравитации (задержка ЭМ и ГВ сигналов)

$$-3 \times 10^{-15} \le \frac{\Delta v}{v_{\rm EM}} \le +7 \times 10^{-16}$$
.

2) Принцип эквивалентности (по эффекту Шапиро)

$$-2.6 \times 10^{-7} \le \gamma_{\text{GW}} - \gamma_{\text{EM}} \le 1.2 \times 10^{-6}$$

> Астрофизические приложения:

Результат слияния: ЧД, массивный остаток -> ЧД, магнетар

Физика гамма-всплесков

Ограничения на уравнения состояния нейтронных звезд

Спасибо за внимание!

GW170817

